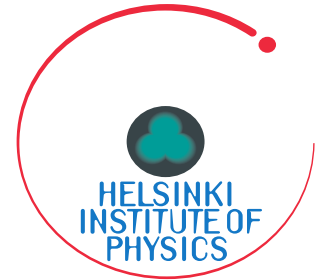




Centre of Excellence  
in Quark Matter



UNIVERSITY OF JYVÄSKYLÄ



# ALICE -luento

Maxim Virta

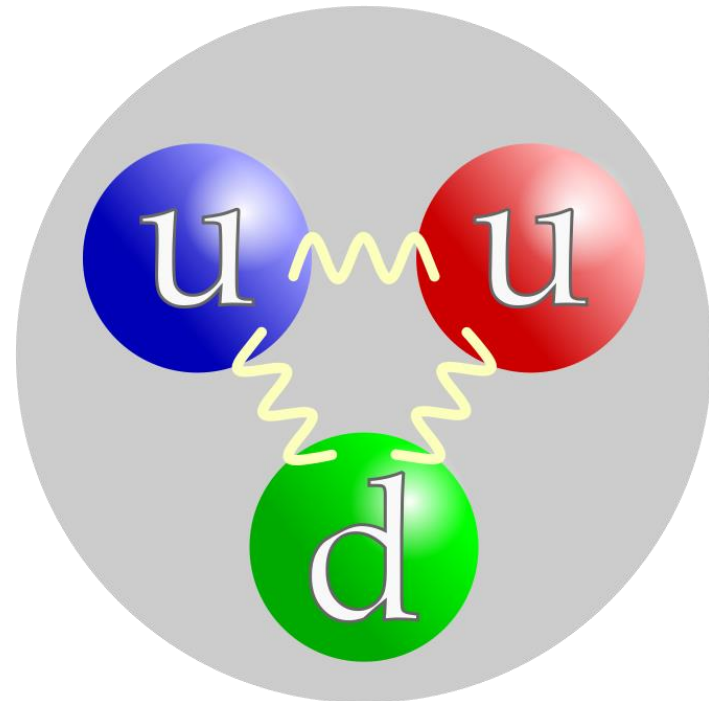
Finnish High School Programme  
CERN, 17.10.2024

# Kuka, mistä, miksi?

- 2014-2017 Järvenpään lukio
- 2017-2022 Helsingin yliopisto, filosofian maisteri
  - Teoreettisen fysiikan opinnot
  - Kesätyö Jyväskylän ALICE-ryhmässä
- 2022→ Jyväskylän yliopisto, väitöskirjatutkija
  - ALICE-ryhmä
  - Korrelaatio- ja virtausobservaabelit kvarkki-gluoniplasmassa

# Sisältö

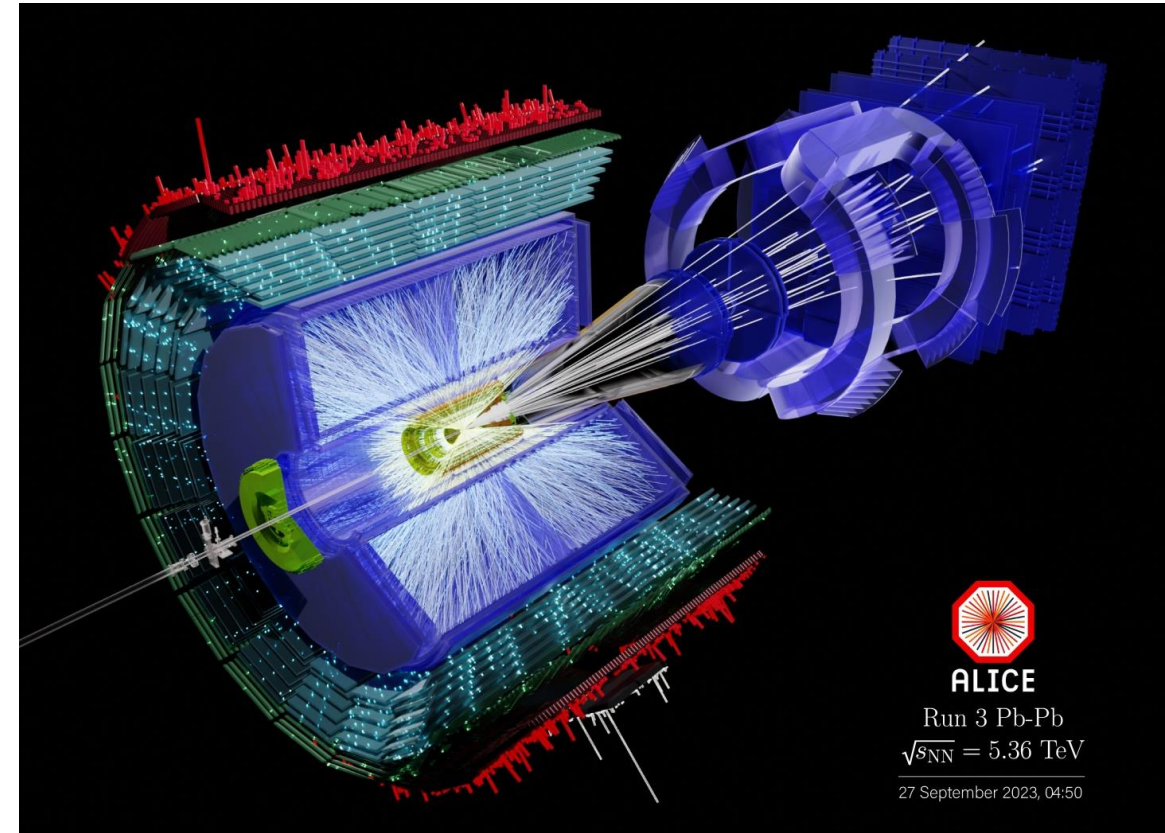
1. Mikä on ALICE?
2. Standardimalli ja kvarkki-gluoniplasma
3. Tämänhetkinen tutkimus
4. Laitteisto



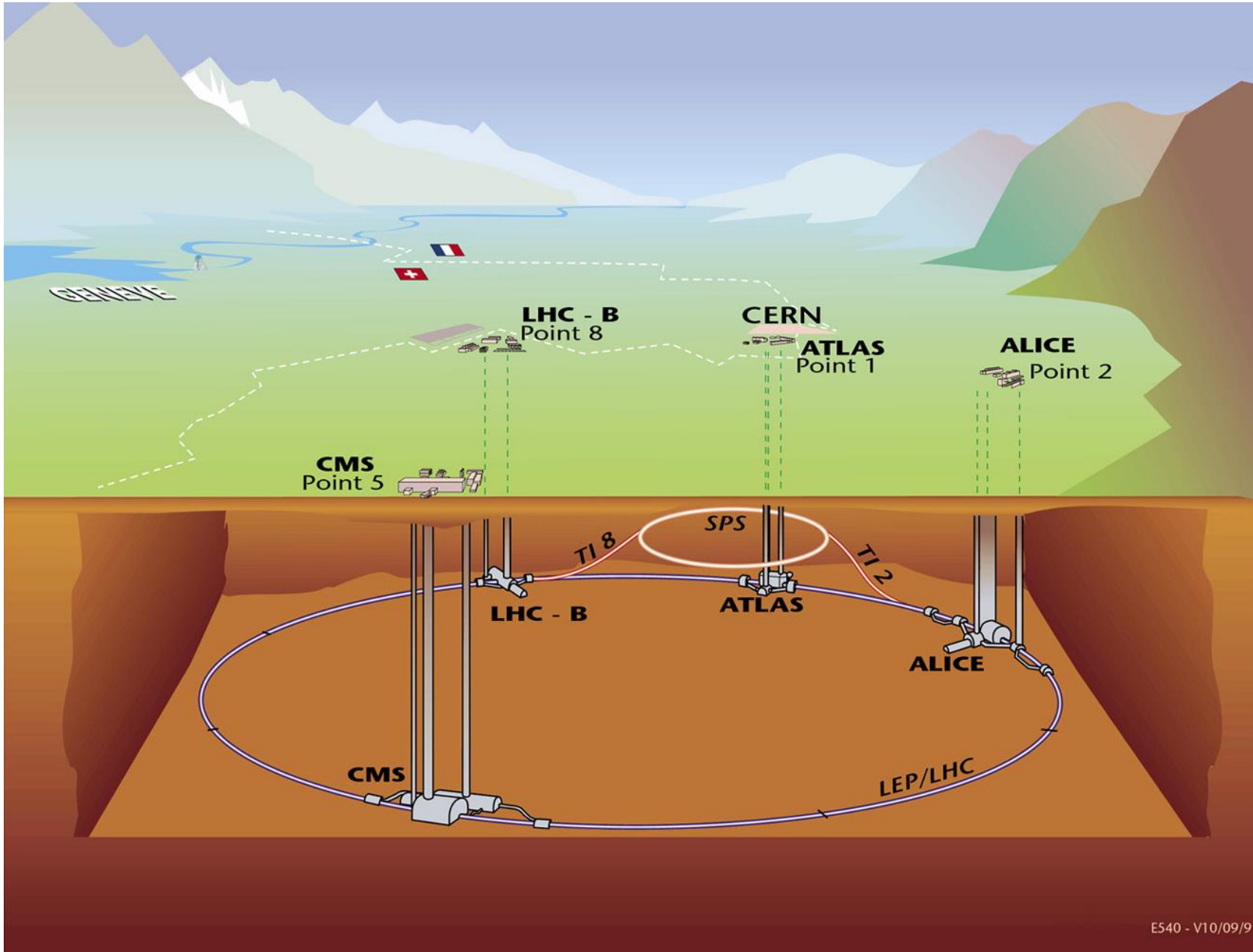
# A Large Ion Collider Experiment

Keskittyy tutkimaan:

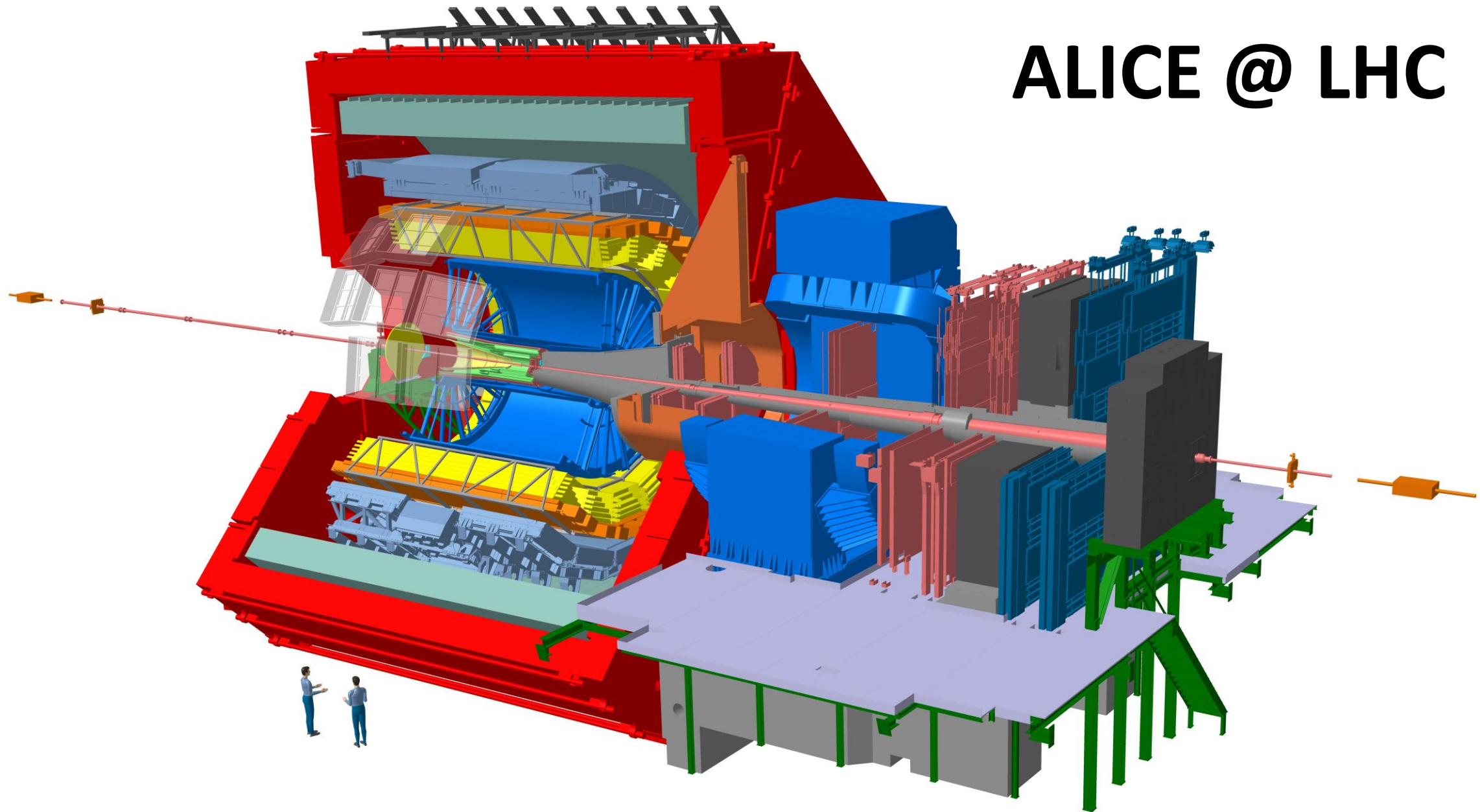
- PbPb törmäytykset
- pp törmäytykset
- kvarkki-gluoniplasma (QGP)
- suurenergiset hiukkassuihkut (jet)



# LHC = Large Hadron Collider @ CERN

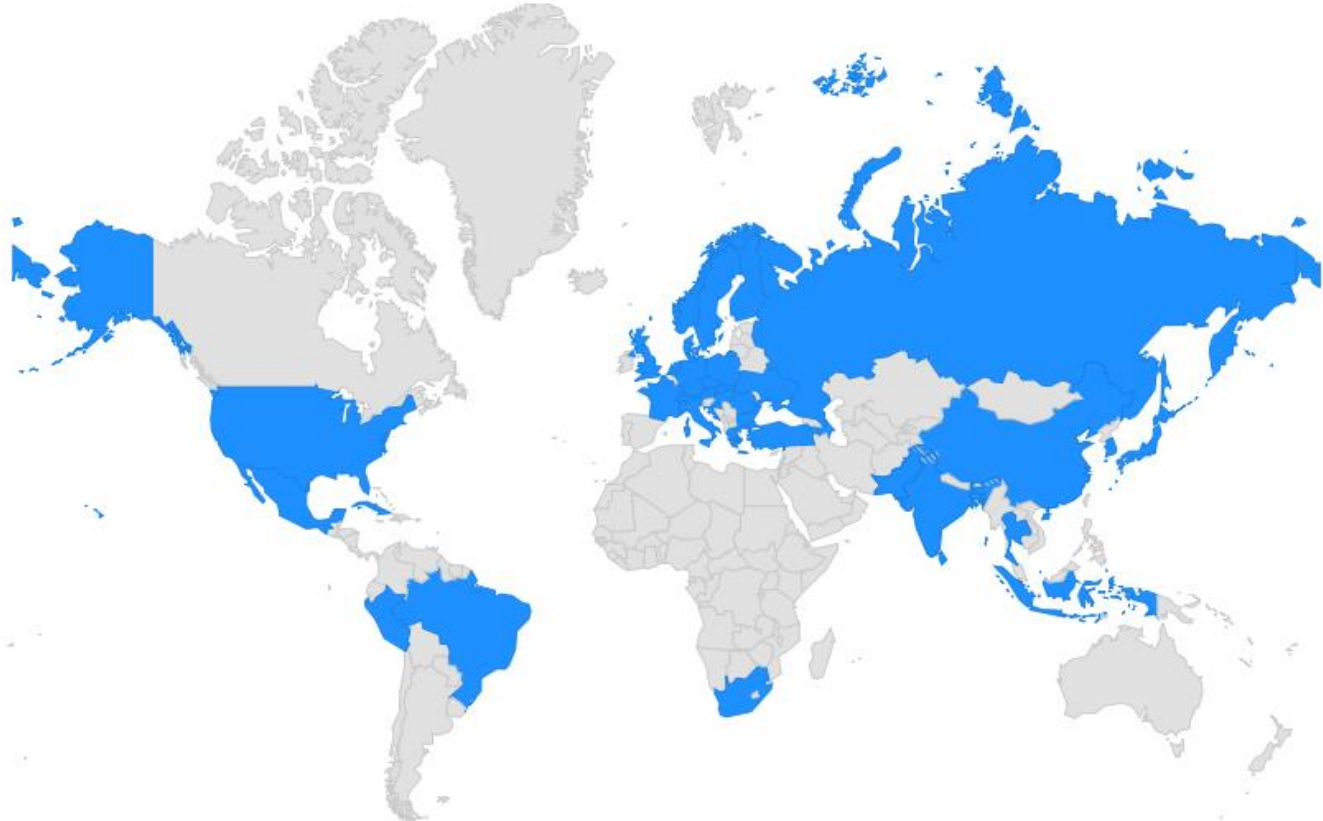


# ALICE @ LHC





40 maata, 170 instituuttia, 1971 jäsentä



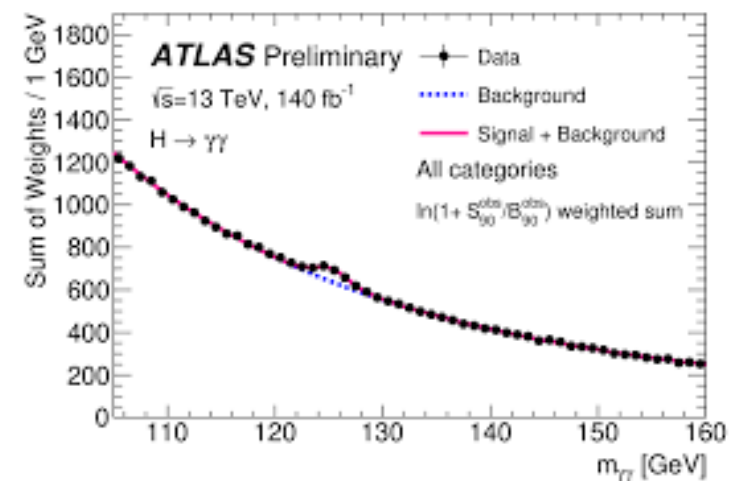
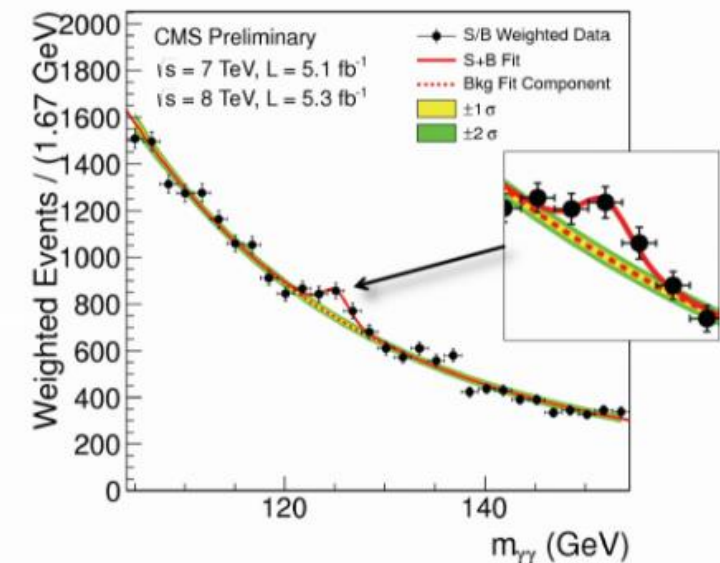
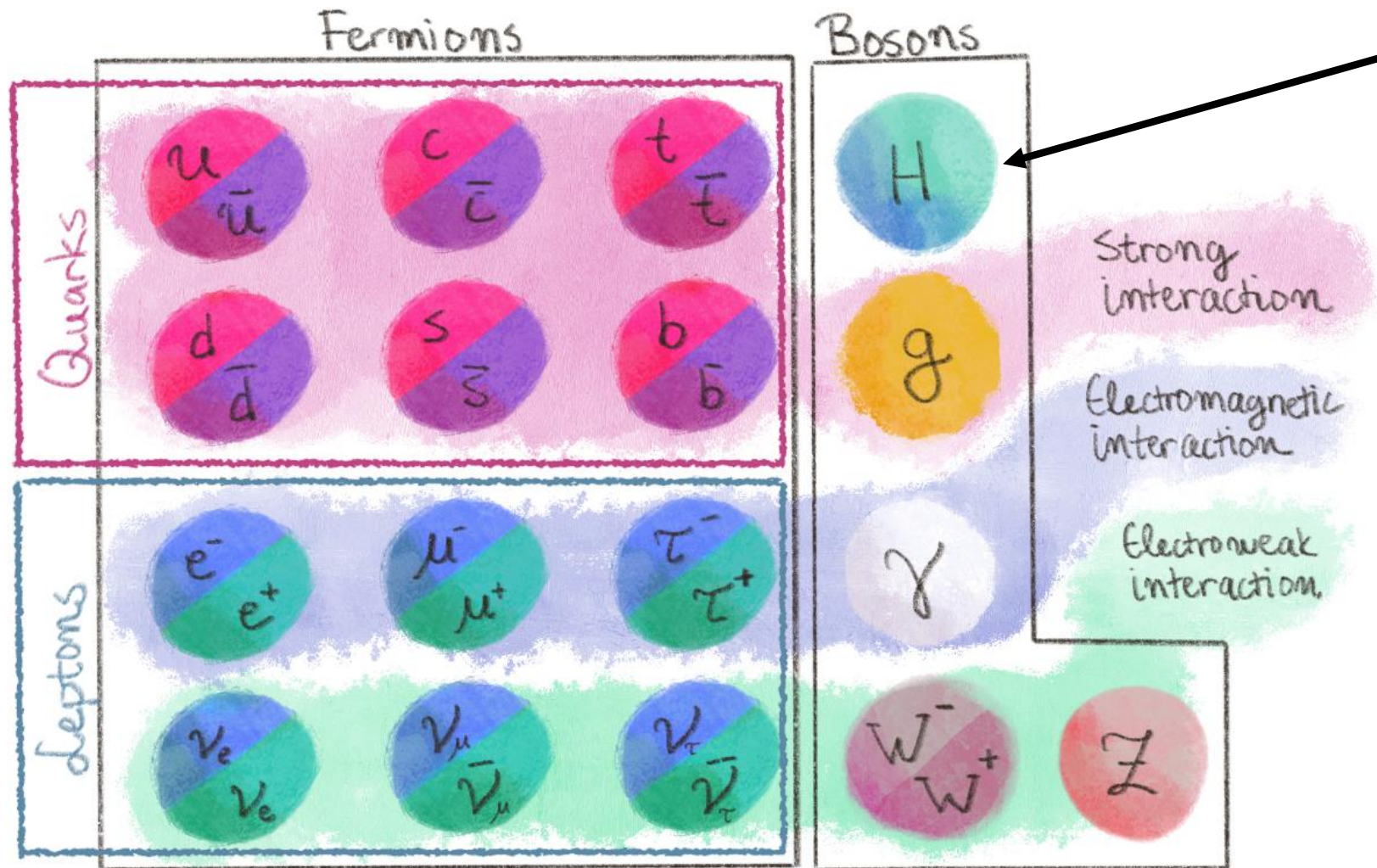
PhD celebration, 27.6.2023



**Jyväskylän ALICE:**

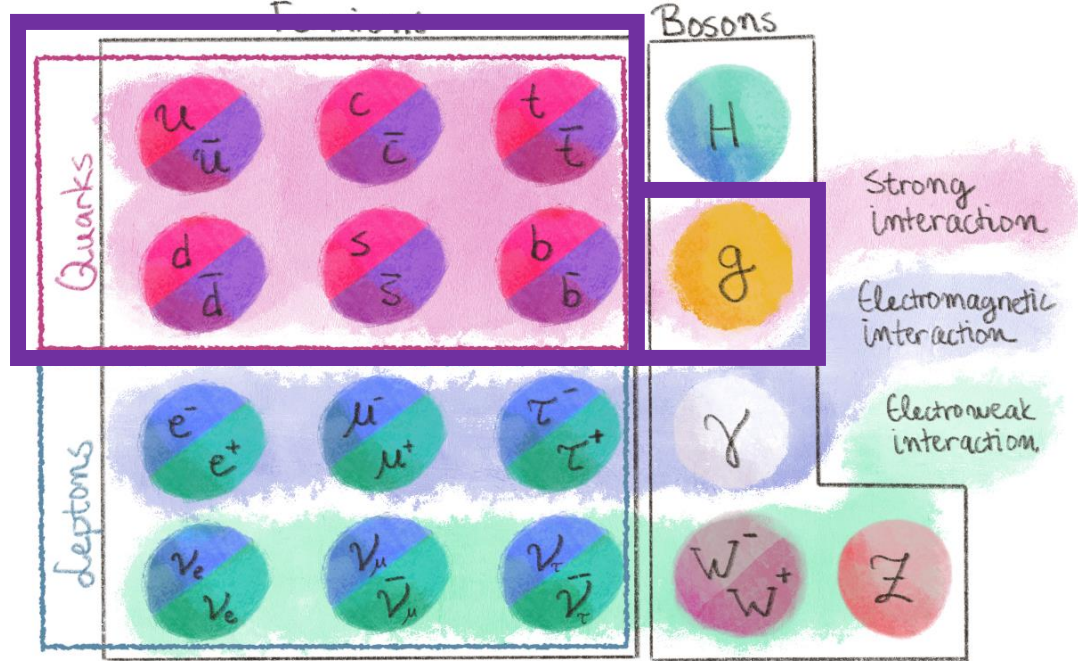
- 3 senioria
- 3 post docia
- 4 väitöskirjatutkijaa

# Standardimallin alkeishiukkaset:



2012, LHC

Kuva: Heidi Rytkönen



## Suomen yliopistoista:

- Hiukkasfysiikka keskittyy Helsingin ja Jyväskylän yliopistoihin, vaikka erityisesti instrumentaatiota on muuallakin.
- Helsinki osallistuu CMS-kokeeseen ja teoria painottuu sähköheikkoon ja BSM = beyond Standard Model fysiikkaan.
- Jyväskylä osallistuu ALICE-kokeeseen ja tutkimus painottuu vahvaan vuorovaikutukseen.
- Ei raja-aitoja; myös QCD:ta HY ja sähkö-heikkoa JYU

## Seuraavassa keskitytään vahvaan vuorovaikutukseen:

- Huomaa: Higgs antaa massan alkeishiukkasille. Keveiden  $u$  ja  $d$  kvarkkien massat ovat n. 4-5 MeV  
 $\rightarrow$  protonin = (uud) massasta alle 15 MeV, korkeintaan 1,5 %, on kvarkkien massaa.  
 $\rightarrow$  suurin osa baryonisen aineen massasta on kvantiväridynamiikan (QCD) sidosenergiaa  
Osoittautuu, että protoni on rakenteeltaan hyvin rikas objekti,  
paljon muuta kuin "pelkästään (uud)". Tästä lisää myöhemmin.

“Normaaleissa” olosuhteissa kvarkit ovat kahliutuneet hadronien sisään:

**Hadronit** = **baryonit** + **mesonit**, tunnetaan yli 300 kpl

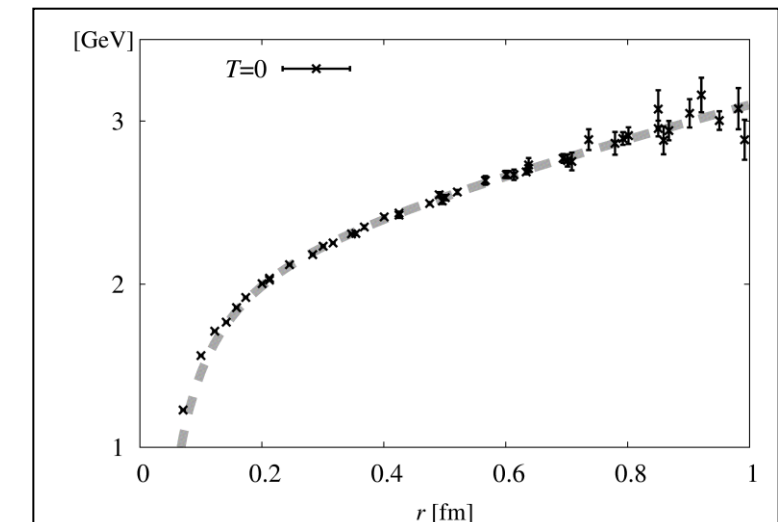
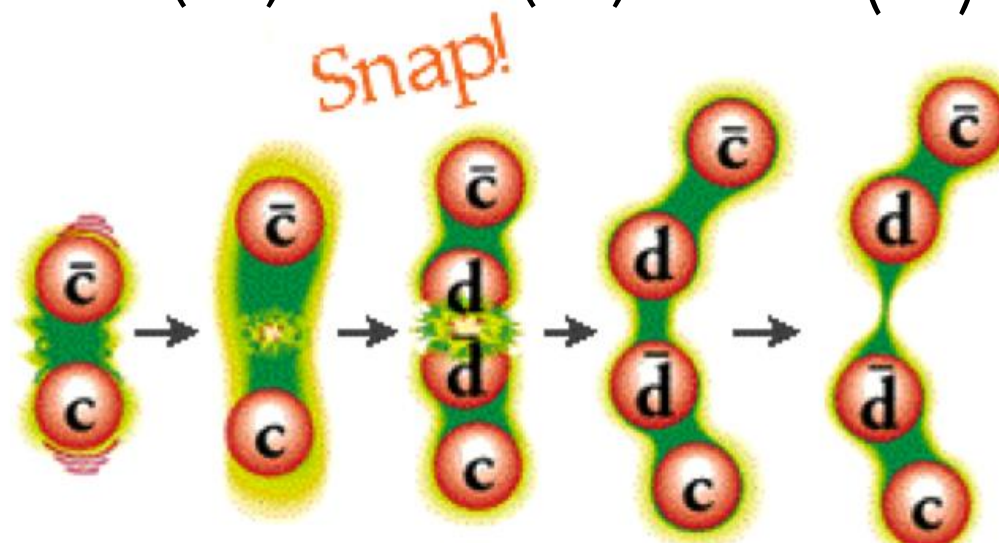
(Anti-)**Baryonit** = kolmen (anti-)kvarkin sidottuja tiloja, esimerkiksi

$$p = (uud), \quad n = (udd), \quad D^{++} = (uuu), \quad L = (uds), \quad W = (sss), \dots$$

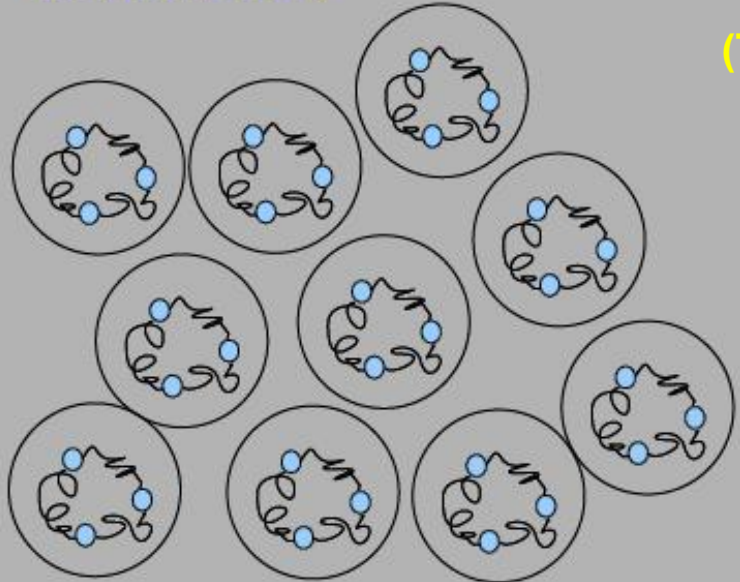
**Mesonit** = kvarkin ja anti-kvarkin sidottuja tiloja, esimerkiksi:

$$\rho^+ = (u\bar{d}), \quad \rho^- = (d\bar{u}), \quad K^+ = (u\bar{s}), \quad D^+ = (c\bar{d}), \quad D^0 = (c\bar{u}), \quad J/\psi = (c\bar{c}) \dots$$

Kahliutuminen  
skemaattisesti:

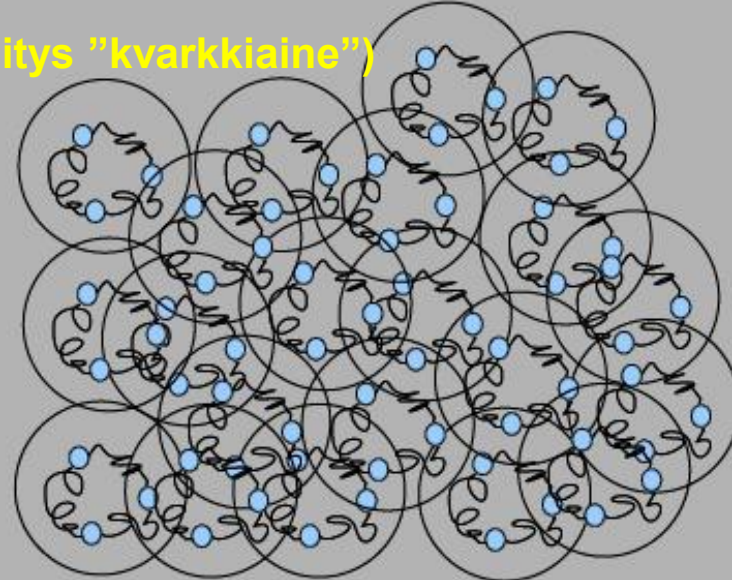


hadronikaasu



(Toisinaan nimitys "kvarkkiaine")

Puristus

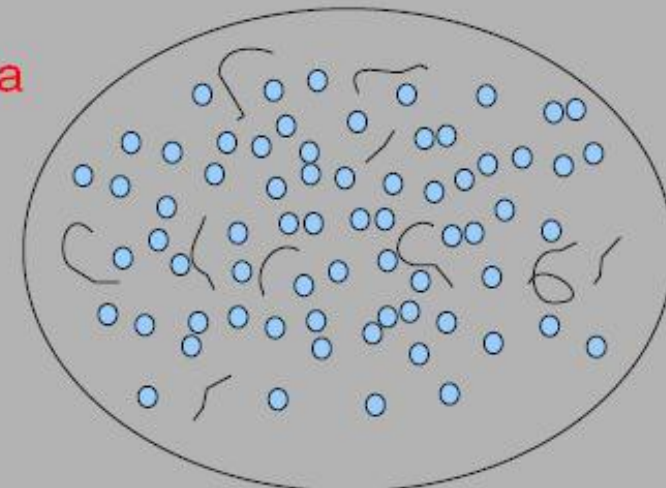


Nukleonitiheys kultaytimessä  
 $n \sim 200 \text{ kpl} / [4/3 \pi (6.5 \text{ fm})^3]$   
 $\sim 0.17 \text{ kpl} / \text{fm}^3$

kvarkki-gluoniplasma

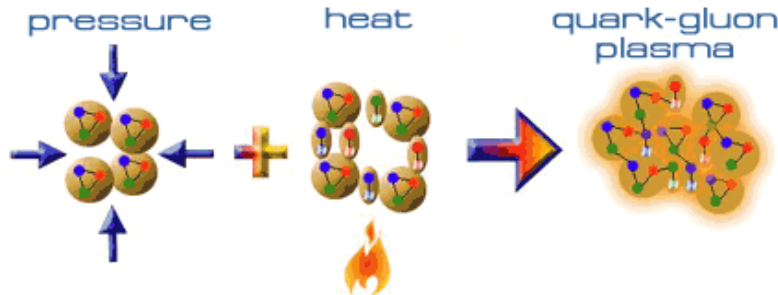
$n \sim 1 \text{ kpl} / \text{fm}^3$

Nukleonit eivät ole  
"kovakuorisia biljardipalloja"



# Kvarkki-gluoniplasma = aineen 5. olomuoto

QCD ennustaa: olomuoto muuttuu, kun  $T > T_c \sim 2 \times 10^{12} K \sim 150 \text{ MeV}$



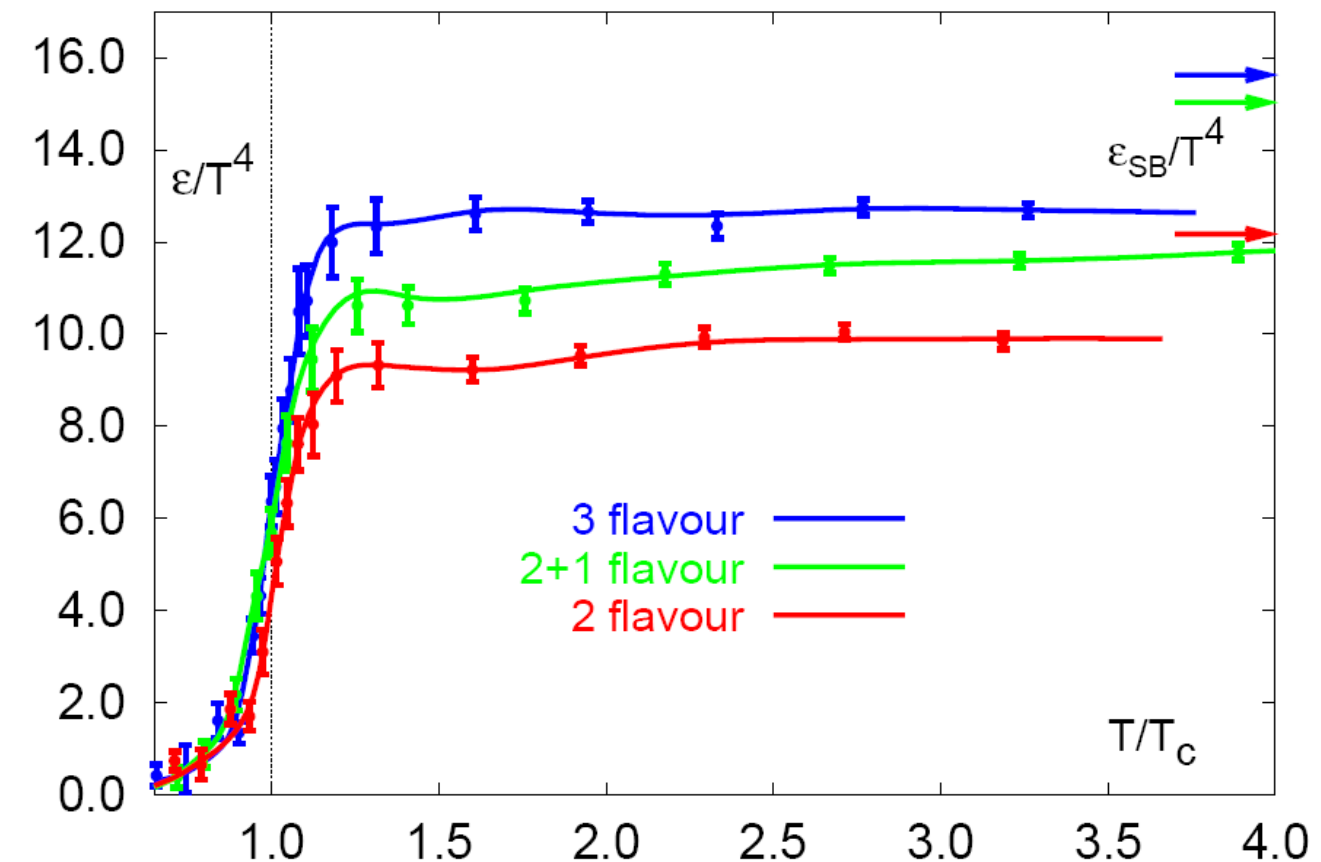
Relativistinen massattomien hiukkasten  
ideaalikaasun energiatiheys

$$\varepsilon \sim (\text{vap. ast. Lkm}) T^4$$

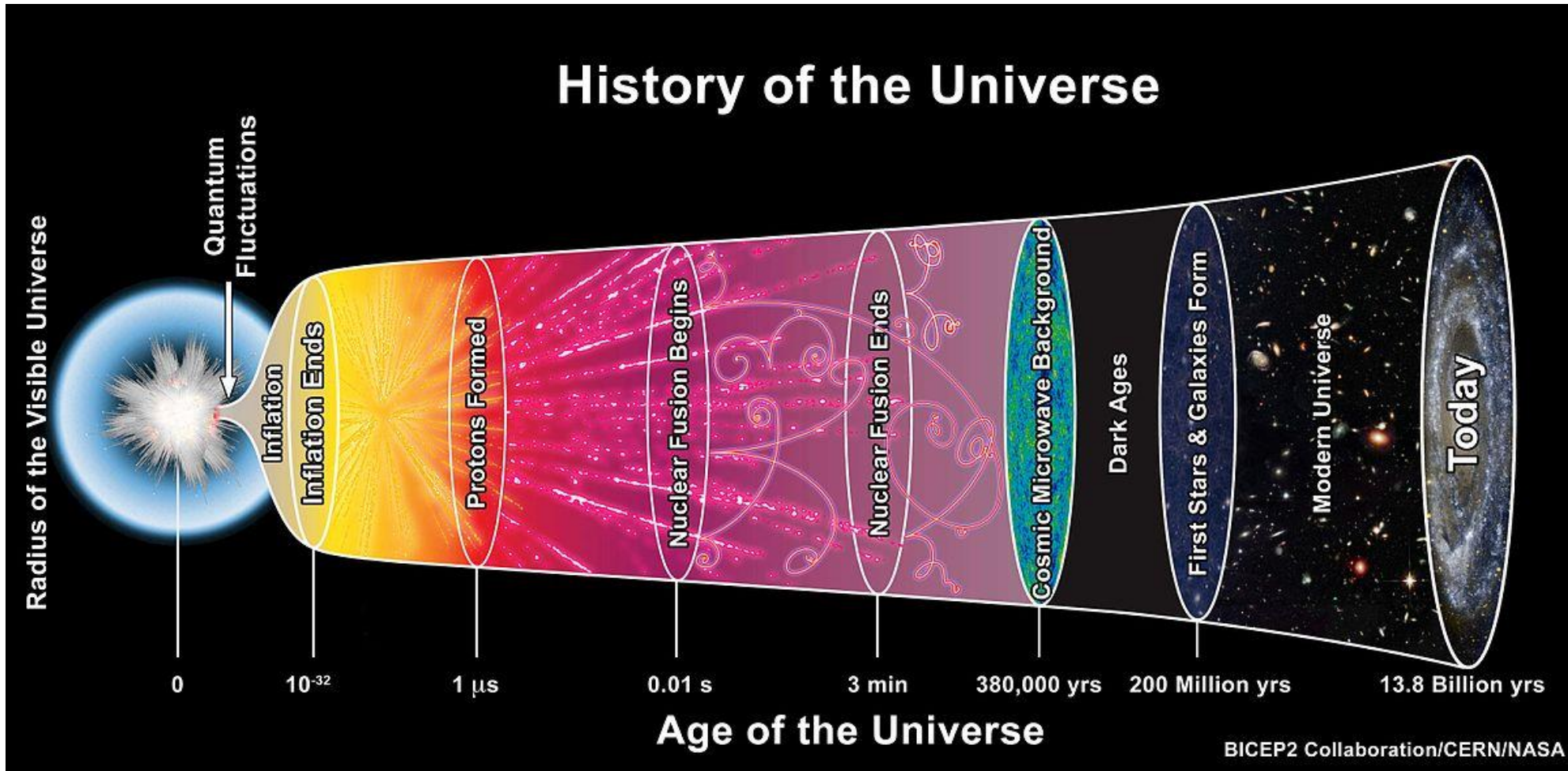
Paine

$$P = \varepsilon/3$$

Lisäksi aineen entropiatiheys:  $s \sim T^3$

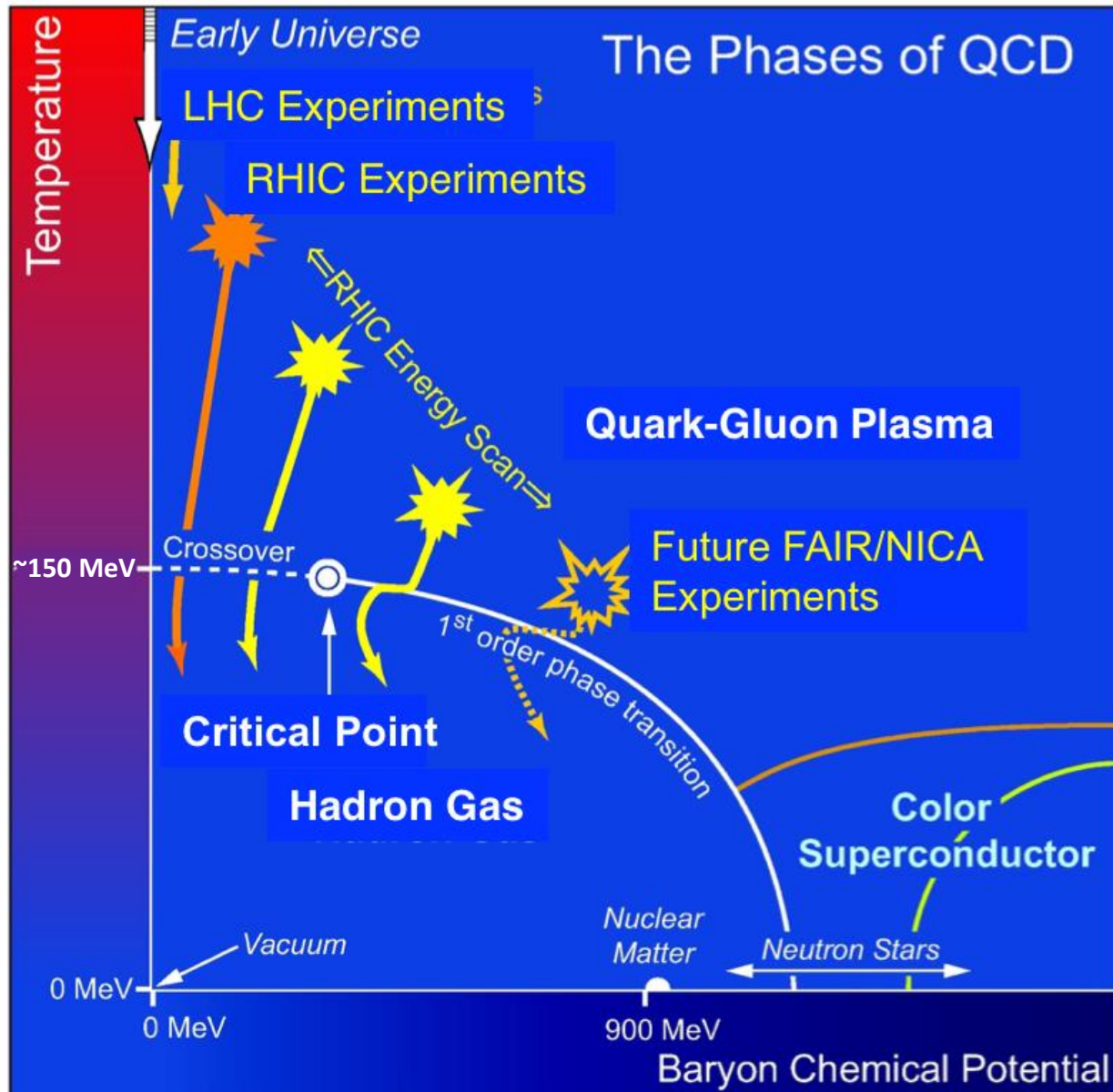


# Raskasitonrõmäytysten motivaatio



QCD faasitransitio

# Raskasitonrämäytysten motivaatio

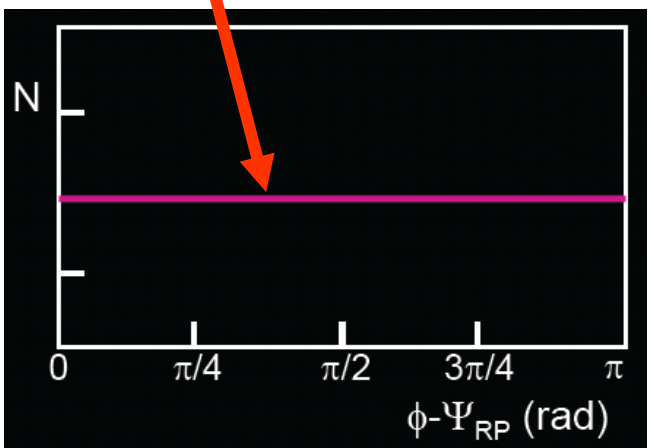
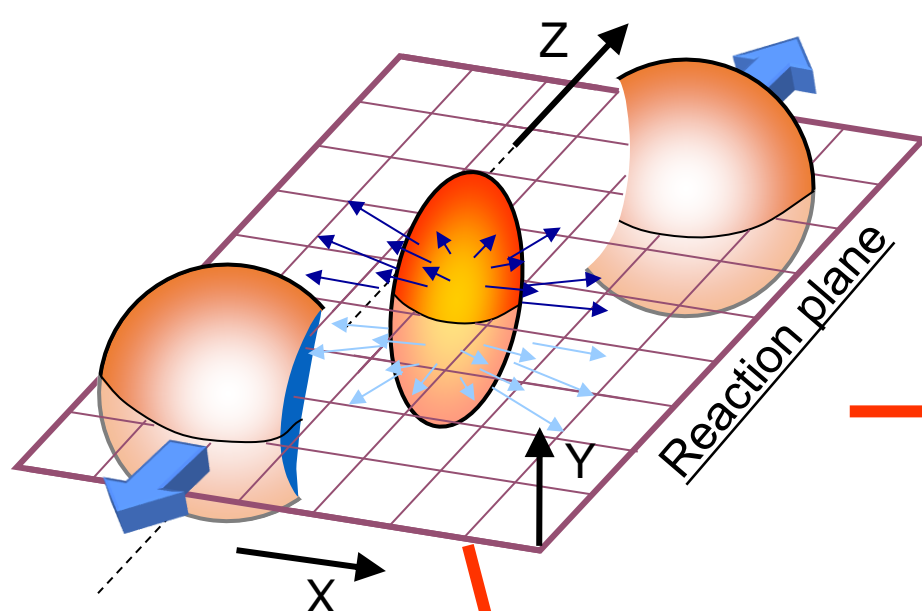


## QGP – suurusluokat:

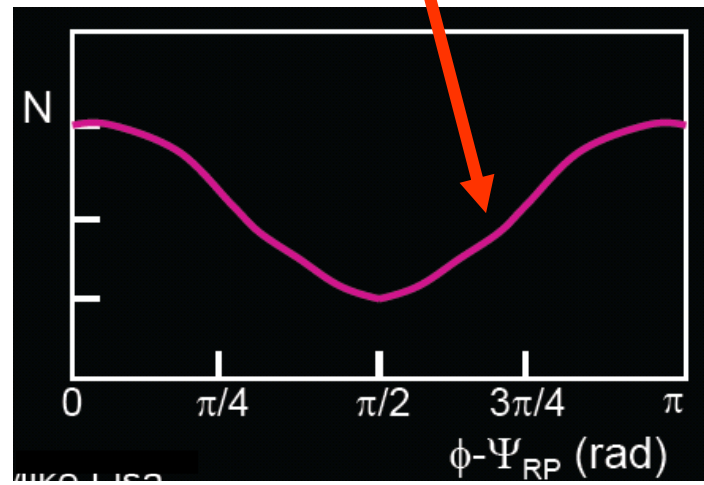
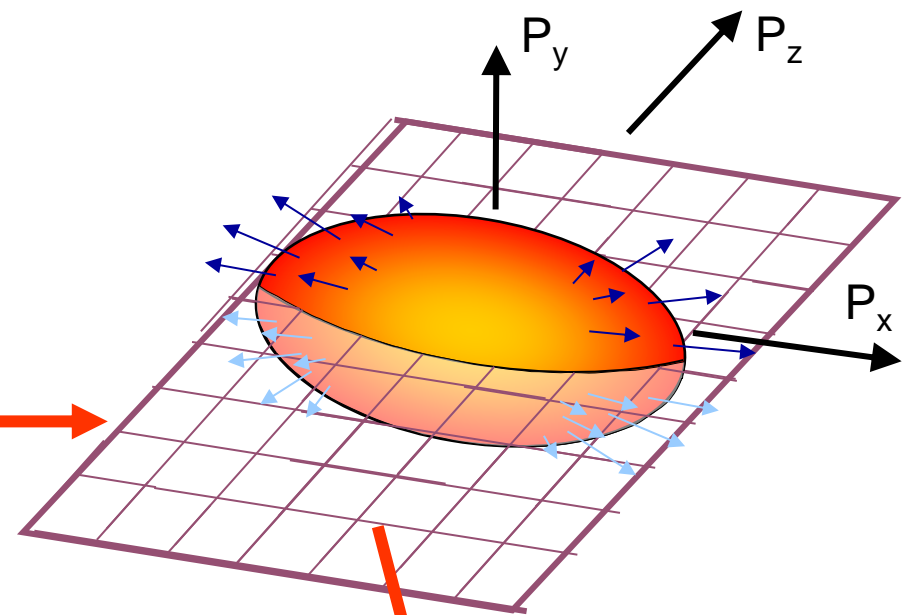
- Lämpötila  $T_c \sim 150$  MeV  $\sim 2000 \times 10^9$  K
- Tiheys  $\sim 1$  nukleoni / fm<sup>3</sup>
- Energiatiheys  $\sim 1$  GeV / fm<sup>3</sup>
- Aikainen maailmankaikkeus  $\tau < 10$   $\mu$ s

Miten täitä voidaan tutkia/havaita?

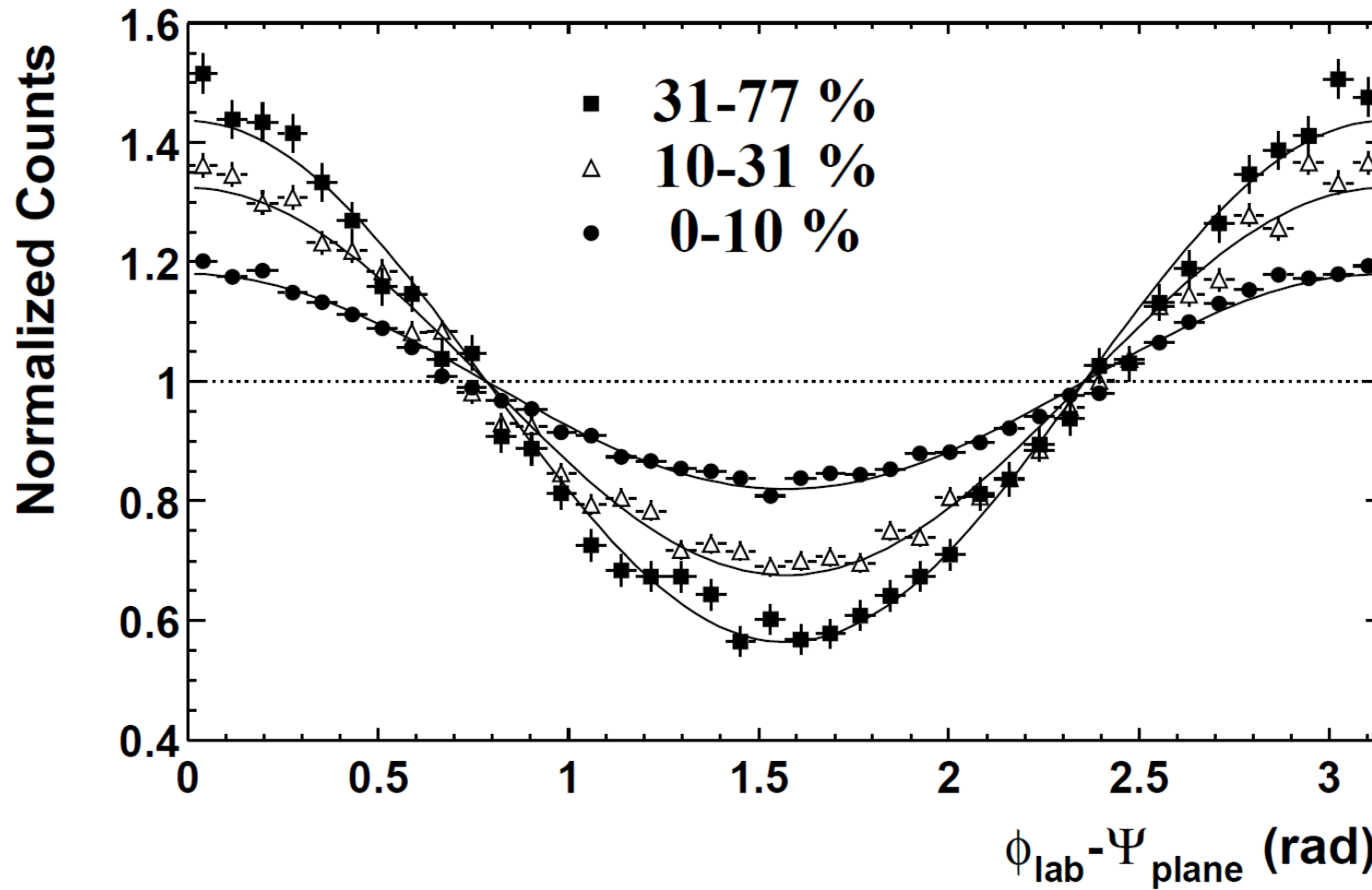
# Onko syntynyt painetta?



$$P \neq 0$$



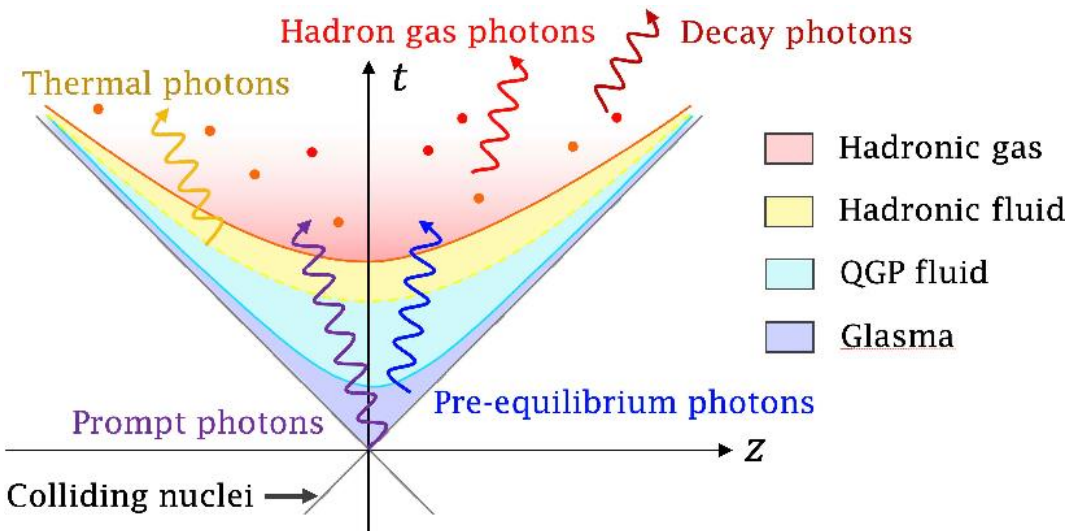
# Onko syntynyt painetta? - Kyllä!



Törmäyksen keskeisyys  
kasvaa  
→ epäsymmetria  
pienenee

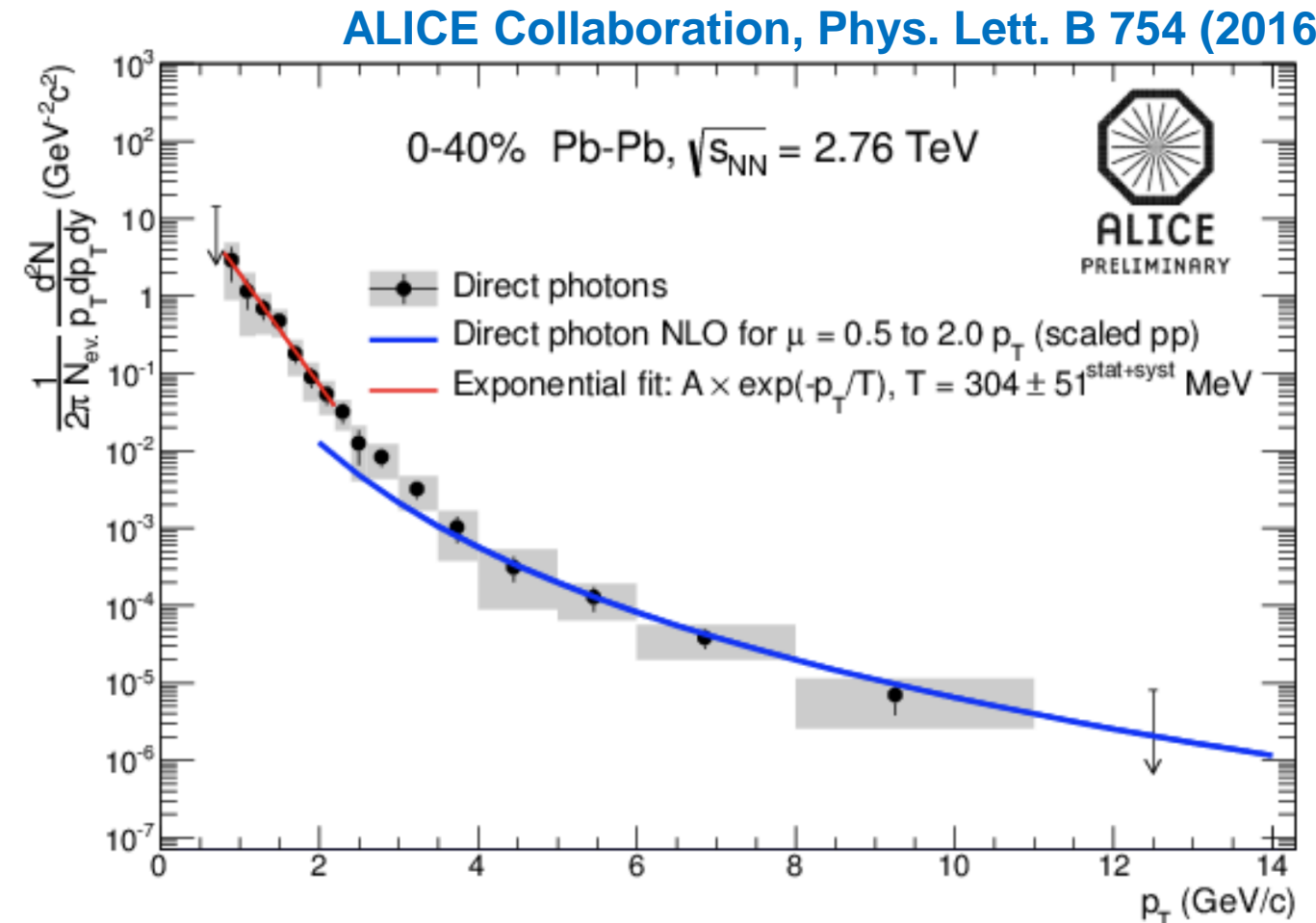
Selkeä, systemaattinen kulmaepäsymmetria havaittu

# Onko aineella lämpötila? - Kyllä!

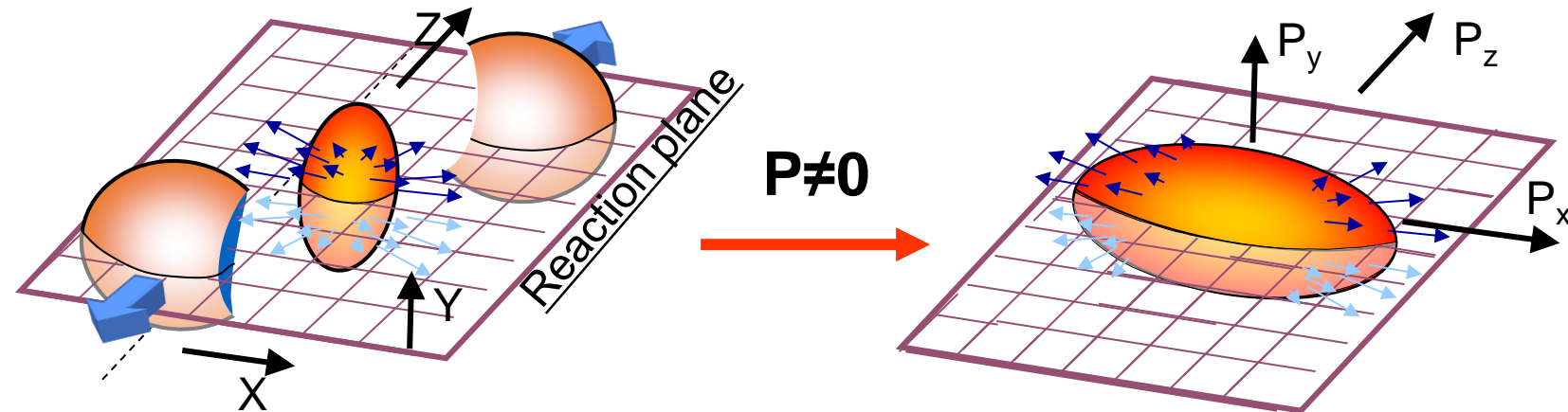


Fotonien vapaa matka  
QCD-aineessa  $\sim 100$  fm  
 $\rightarrow$  karkaavat aineen sisältä  
 $\rightarrow$  tietoa tulipallon keskustasta

Fotonien tuottotaajuus  $\sim e^{-E/T}$   
 $\rightarrow$  efektiivinen lämpötila  $T_{\text{eff}} \sim 300$  MeV  $>>$   $T_c \sim 150$  MeV

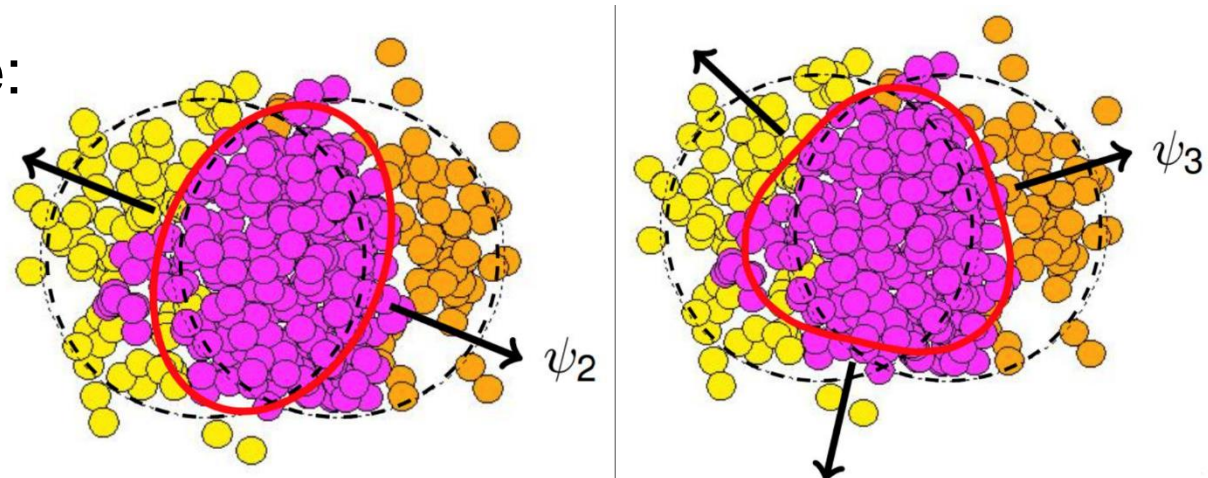


# Kollektiivinen elliptinen virtaus törmäyksessä:



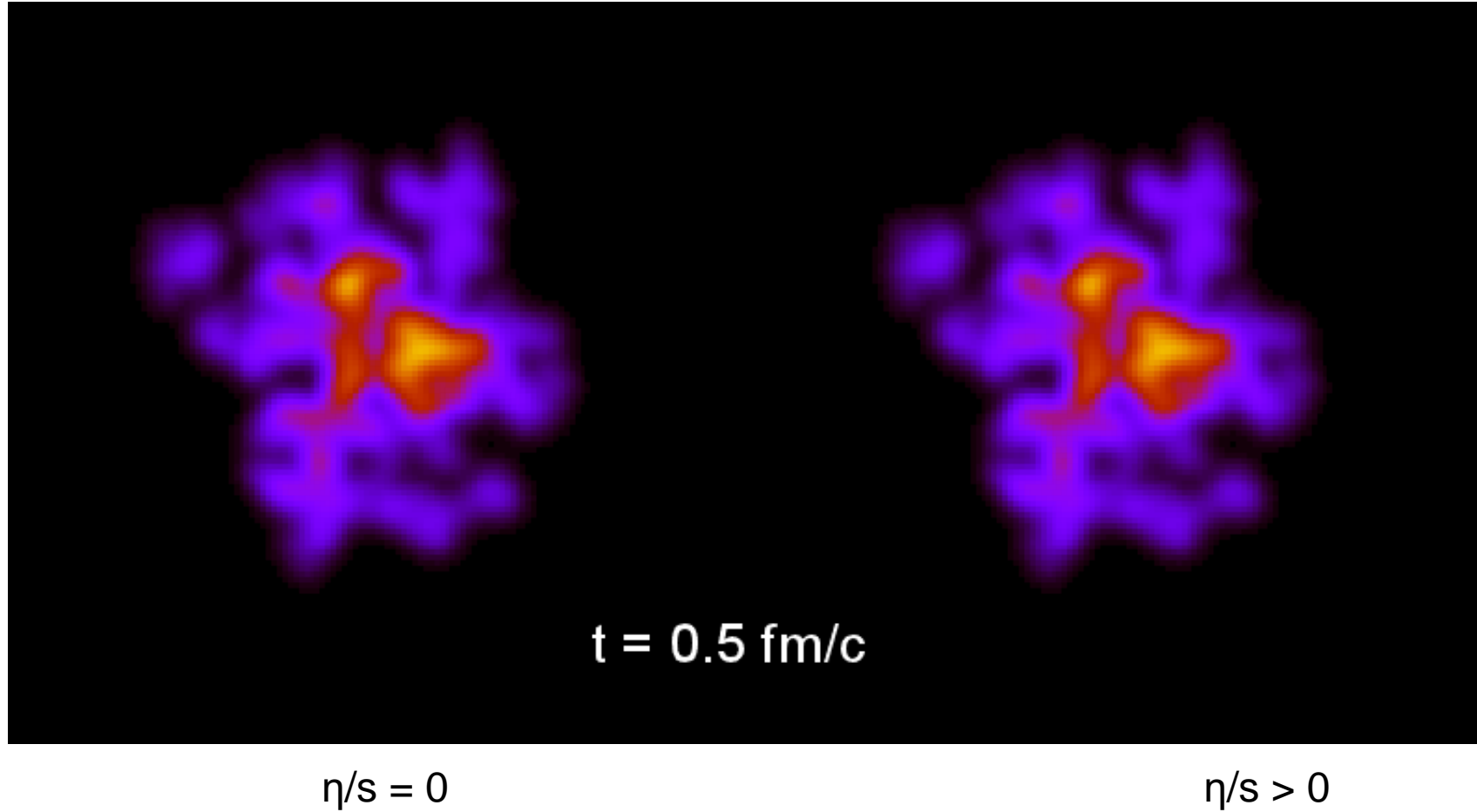
Fourier analyysi lopputilan hiukkasjakauumille:

$$\frac{dN}{d\phi} \sim 1 + \sum_{n=1}^{\infty} 2\nu_n \cos(n(\phi - \psi_n))$$



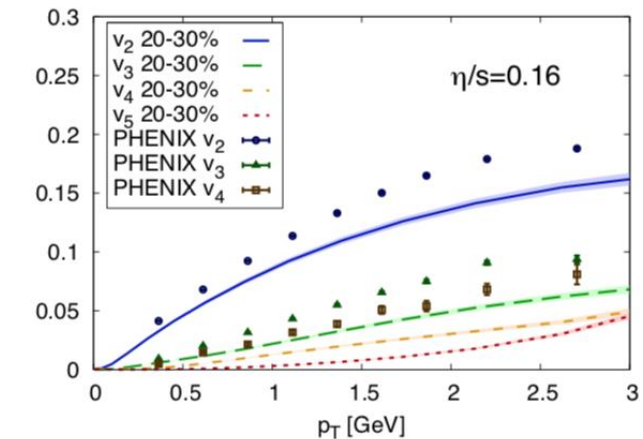
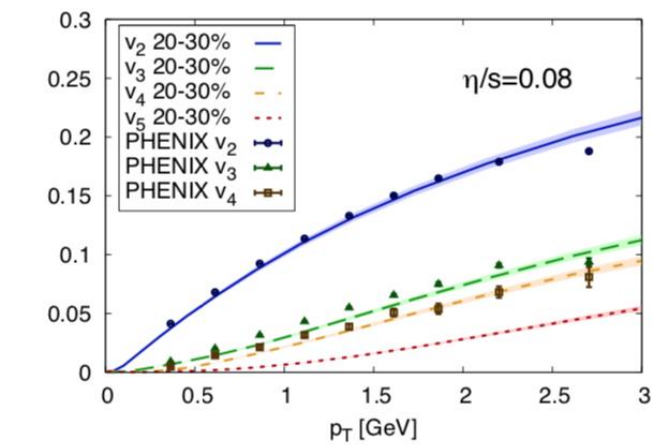
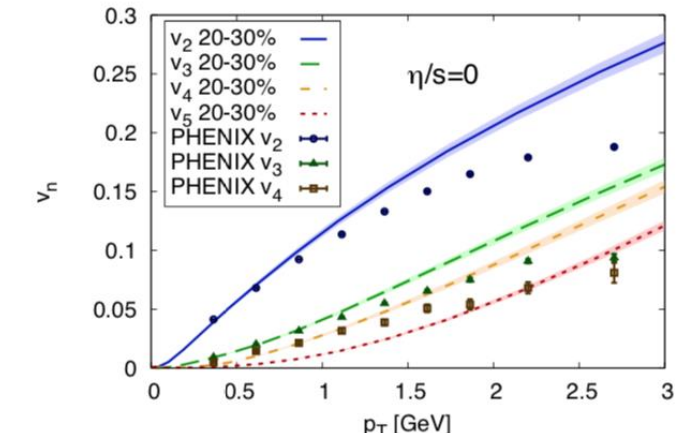
Elliptinen virtaus  $v_2 \Leftrightarrow$  törmäyksen geometria

Triangulaarinen virtaus  $v_3 \Leftrightarrow$  alkutilan fluktuaatiot



**Simulation: Bjoern Schenke, results: Phys. Rev. C85 (2012) 024901**

Viskositeetti vaimentaa fluktuaatioita  
 → erityisesti suuremmat  $v_n$ :t pienenevät



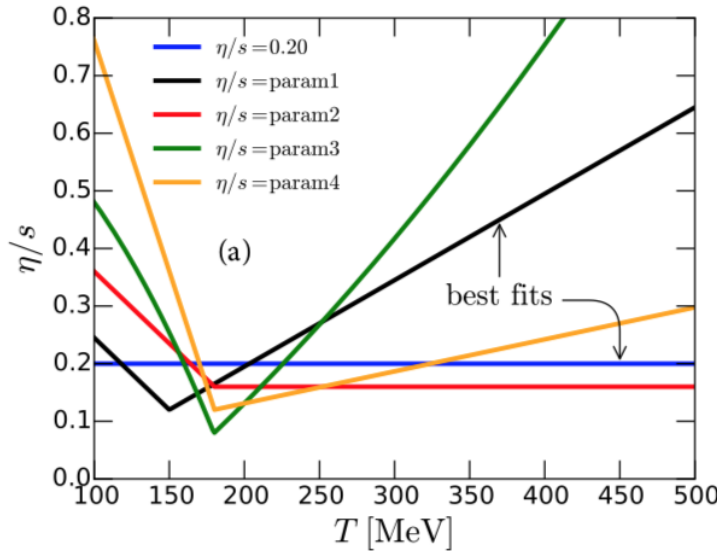
# Korkeamman kertaluokan suureet ja korrelaatiot

- Virtausta luonnehtivien Fourier-kertoimien ("flow coefficients") väliset korrelaatiot
- Erilaiset epälineaariset virtauskertoimet

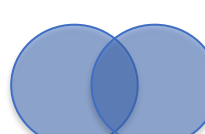
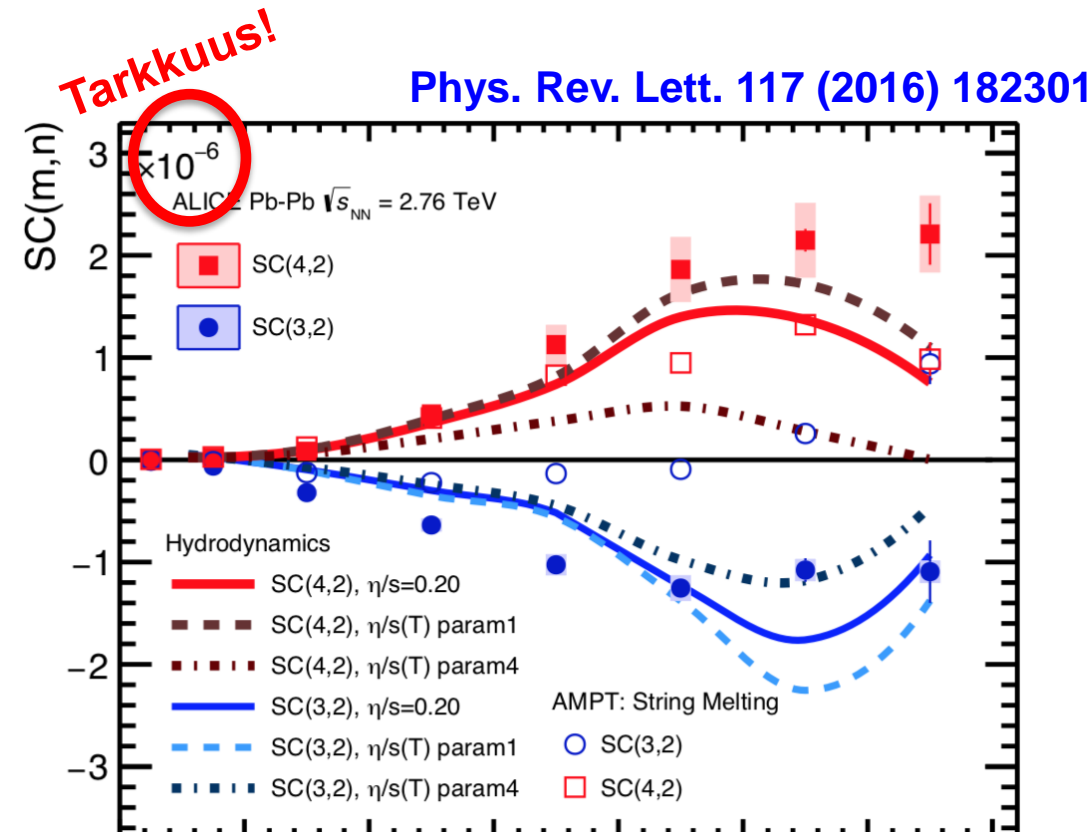
Symmetric cumulants:

$$SC(n, m) \equiv \langle v_n v_m \rangle - \langle v_n \rangle \langle v_m \rangle$$

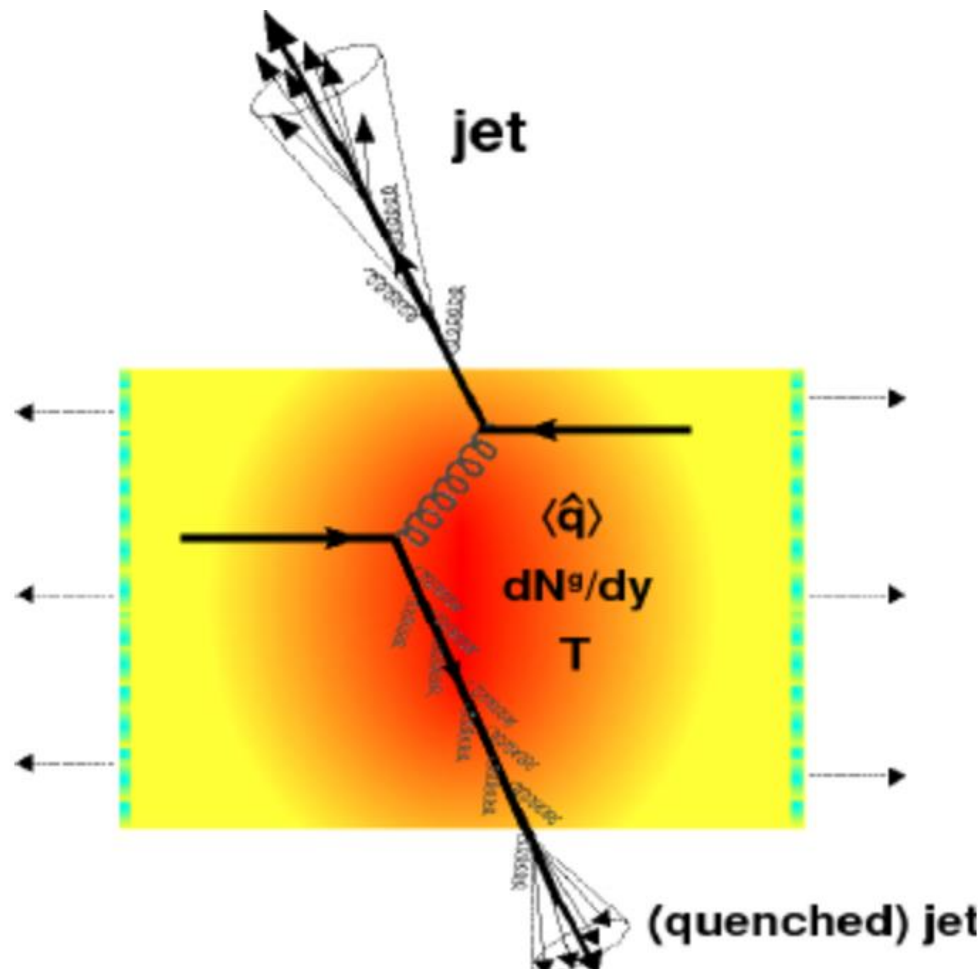
Hydrodynamikan simulaatiot:



Phys. Rev. C93 (2016) no. 2, 024907

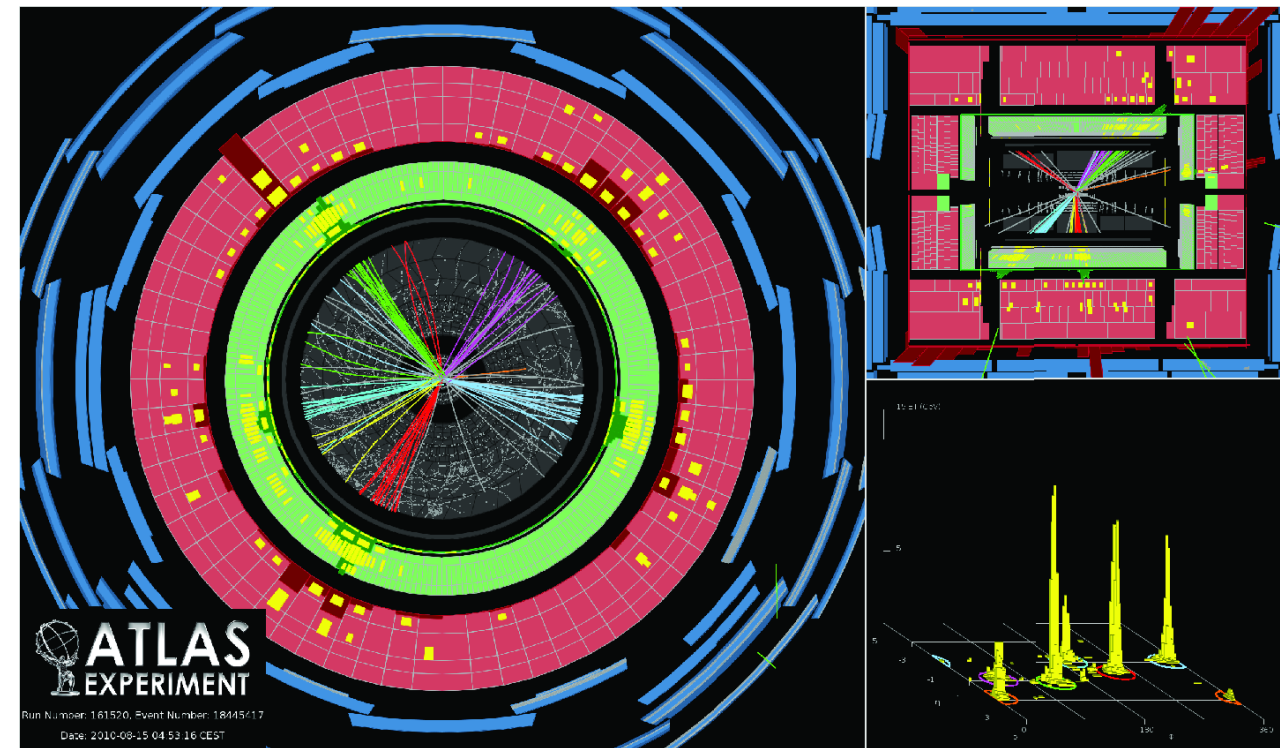
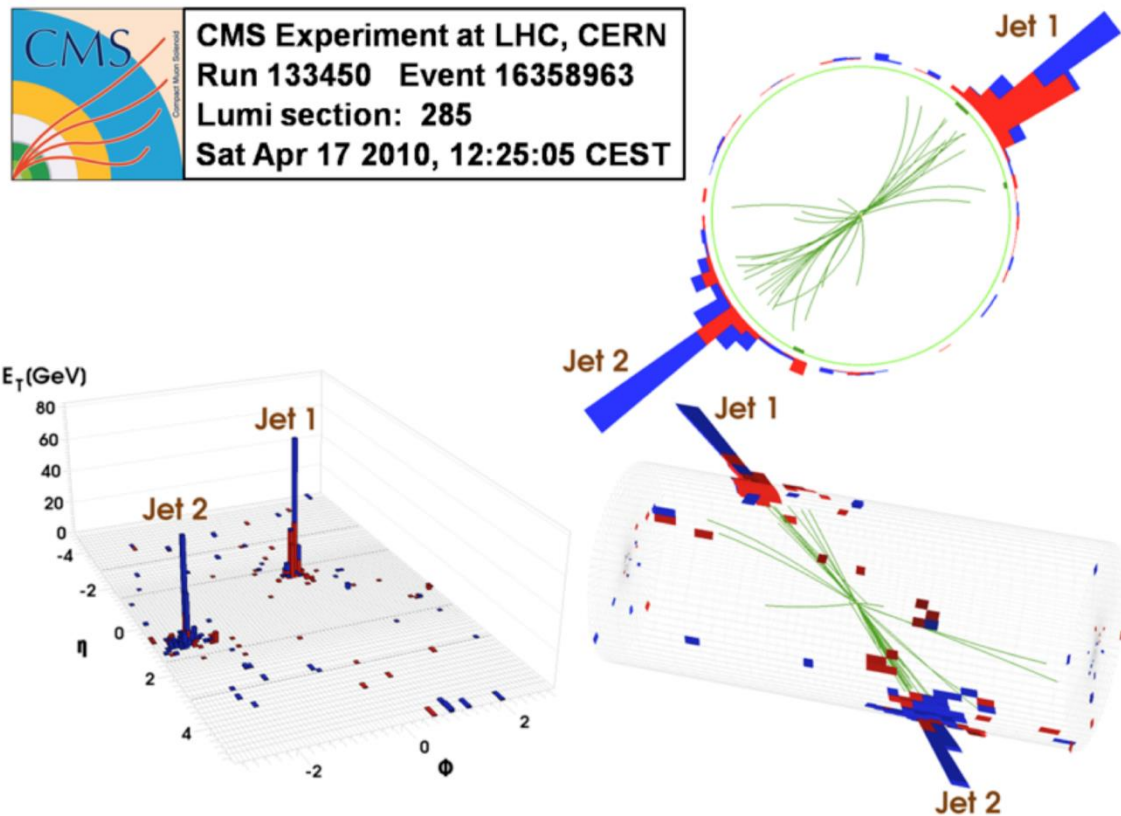


# Jettien energiahäviöt aineessa – QGP:n tomografia:



Liikemäärän säilyminen: suurienerginen kvarkki tai gluoni hadronisoituu  
→ syntyneiden hadronien täytyy kantaa alkuperäisen kvarkin tai gluonin liikemäärää  
→ mitataan kollimoitu hiukkassuihku, jota kutsutaan **jetiksi**

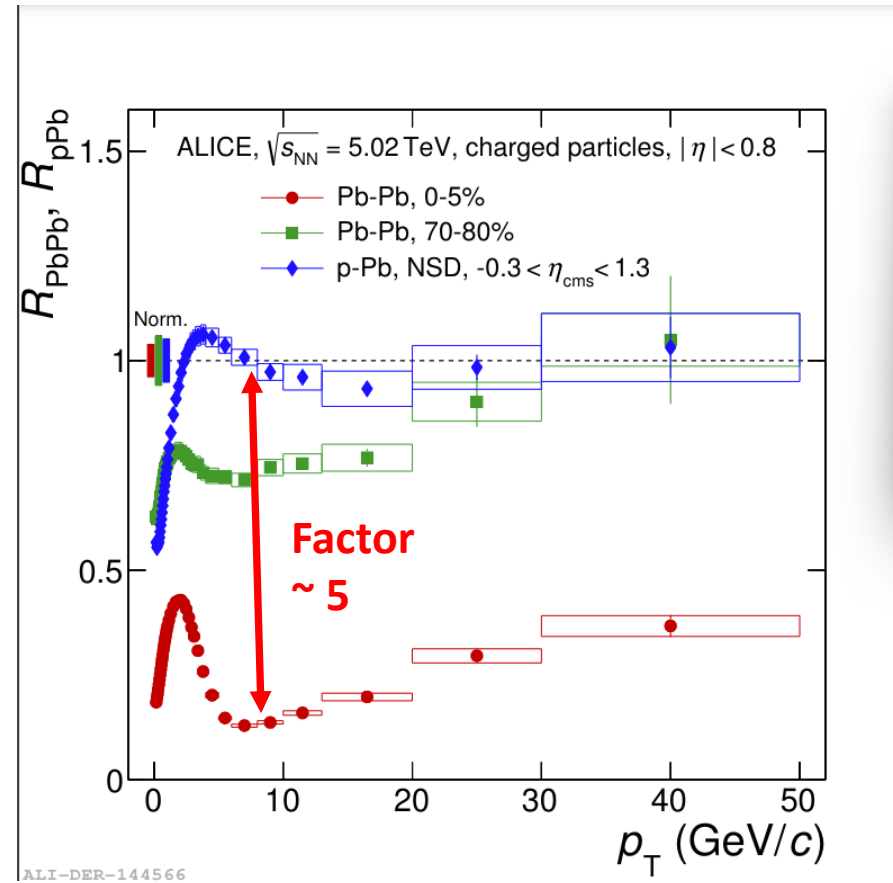
Jettejä rekonstruoidaan erilaisilla algoritmeilla, jotka päätävät mitkä lopputilan hiukkaset kuuluvat syntyneeseen "jettiin"



# Ydinmodifikaatiokerroin, $R_{AA}$

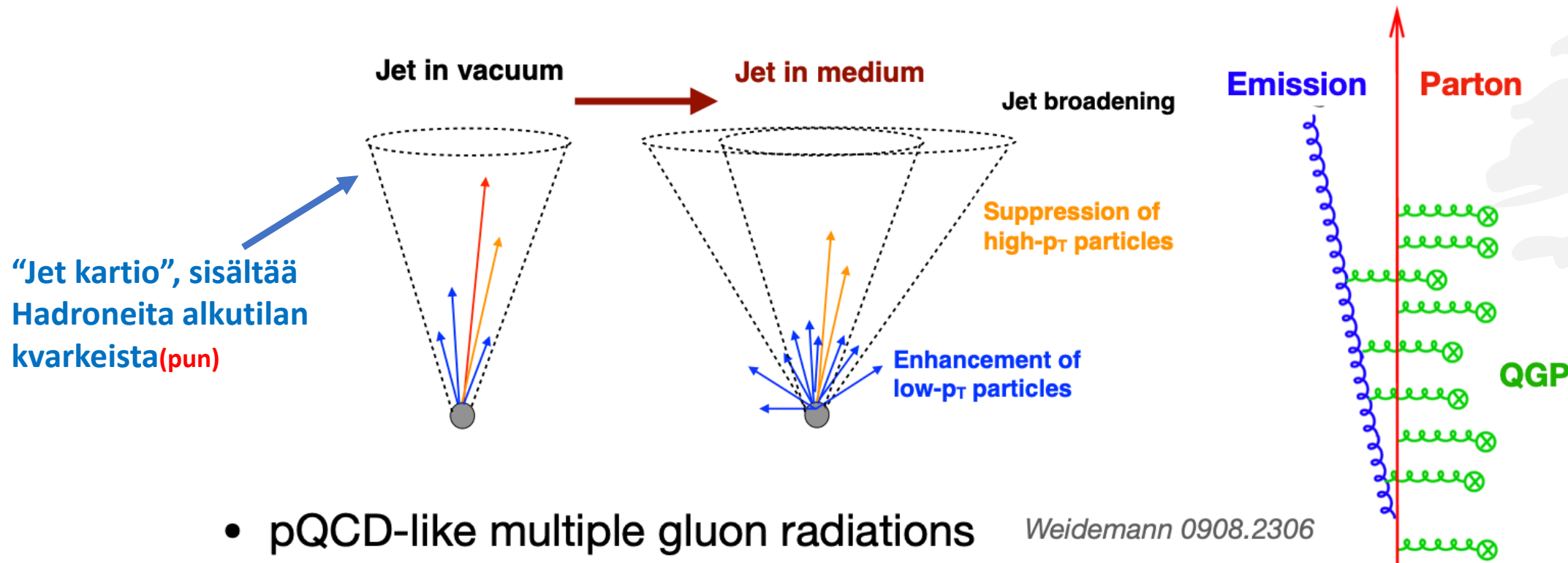
Ei ytimien  
vaikutusta

- Mikäli  $R_{AA} = 1$ , niin AA –törmäys vastaa yhtä monta pp –törmäystä
- Nähdään ettei pidä paikkansa, korkeen liikemääärän hadronit tukahtunut
  - energiahäviötä väliaineessa



[JHEP11\(2018\)013](#)

# Mechanisms of energy loss



- pQCD-like multiple gluon radiations *Weidemann 0908.2306*

- medium induced scatterings (inelastic), *Zapp et al. JHEP 03 (2013) 080*

- AdS/CFT energy loss, *Liu et al. Phys. Rev. Lett. 97 (2006) 182301*

- color coherence/decoherence, *Solano et al. JHEP 10 (2014) 019*

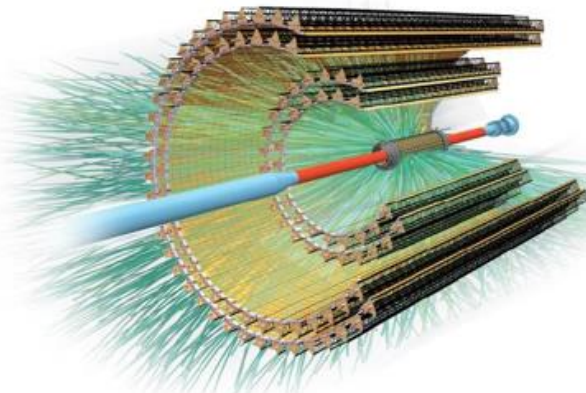
- modified partonic splitting functions etc...

*Qin, Wang,  
Int. J. Mod. Phys. E 24 (2015) 11, 1530014*

Credit!

Millä tutkitaan?

# Parannellut ilmaisimet ALICE:ssa LHC:n toimintaan 2022 – 2032:

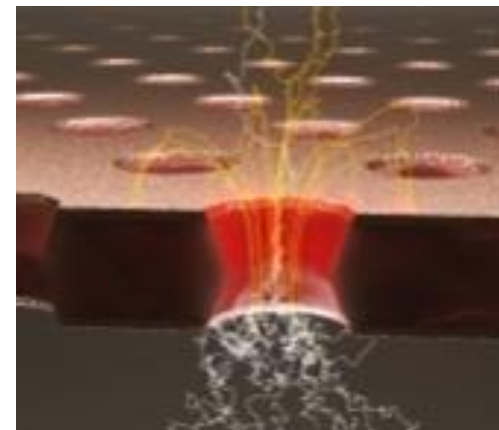


## Uusi ITS3

- nopeampi
- vähemmän materiaalia
- parempi resoluutio

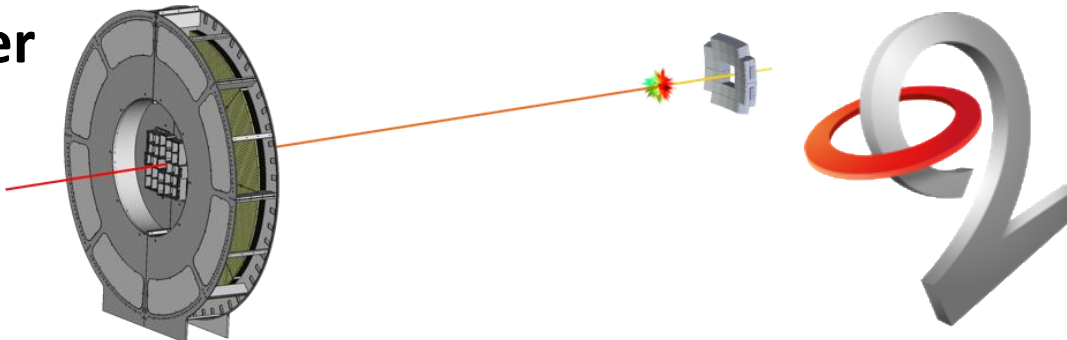
## Fast Interaction Trigger

- keskeisyys
- online luminosity
- törmäysaika



## Uusi TPC readout:

- wire chambers → GEM's
- mahdollistaa PbPb @ 50 kHz

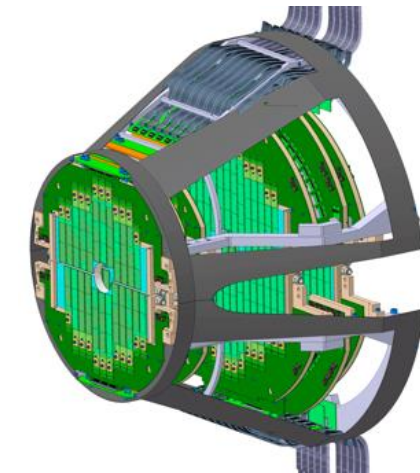


## Lisätty MFT

- parempi muon seuranta
- kakkosvertexit @ forward

$\Omega^2$

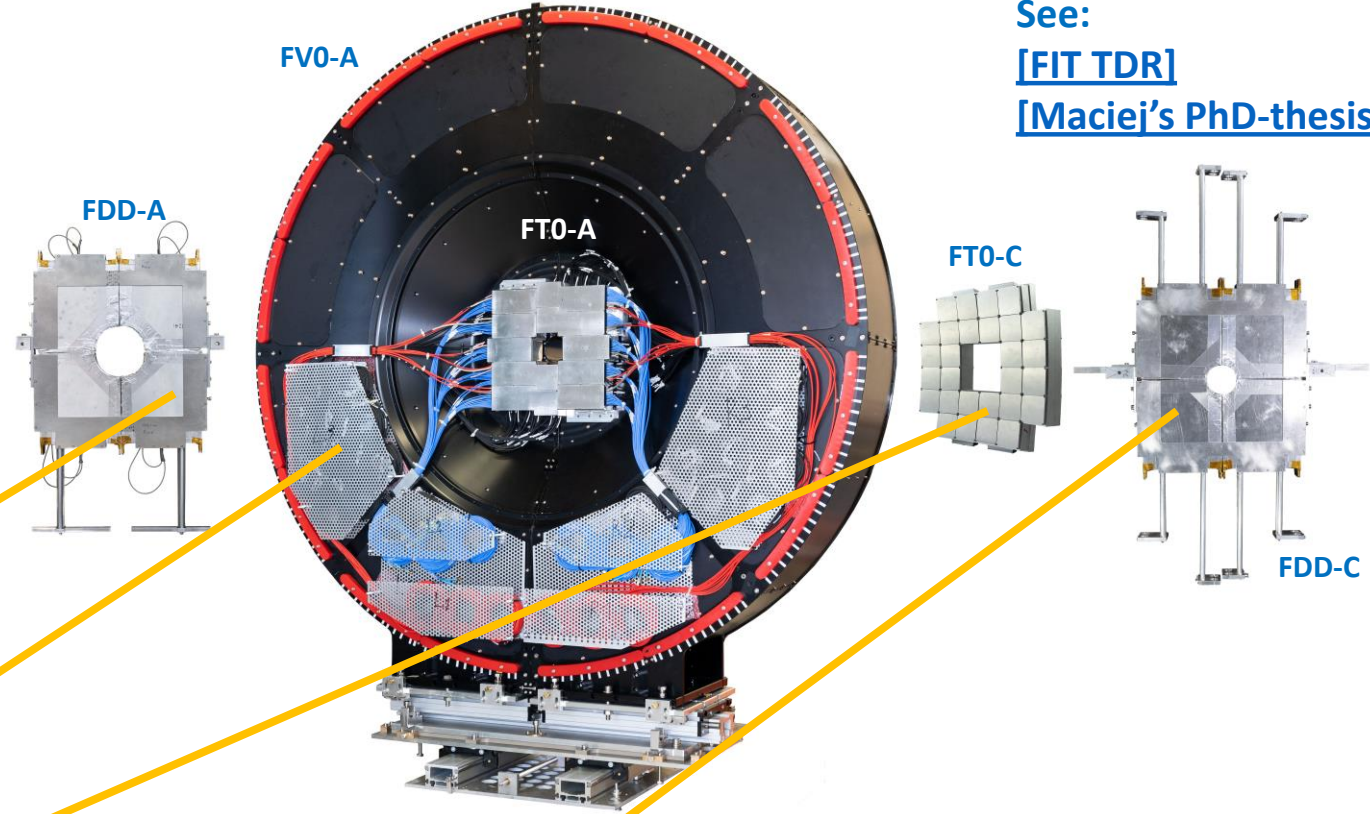
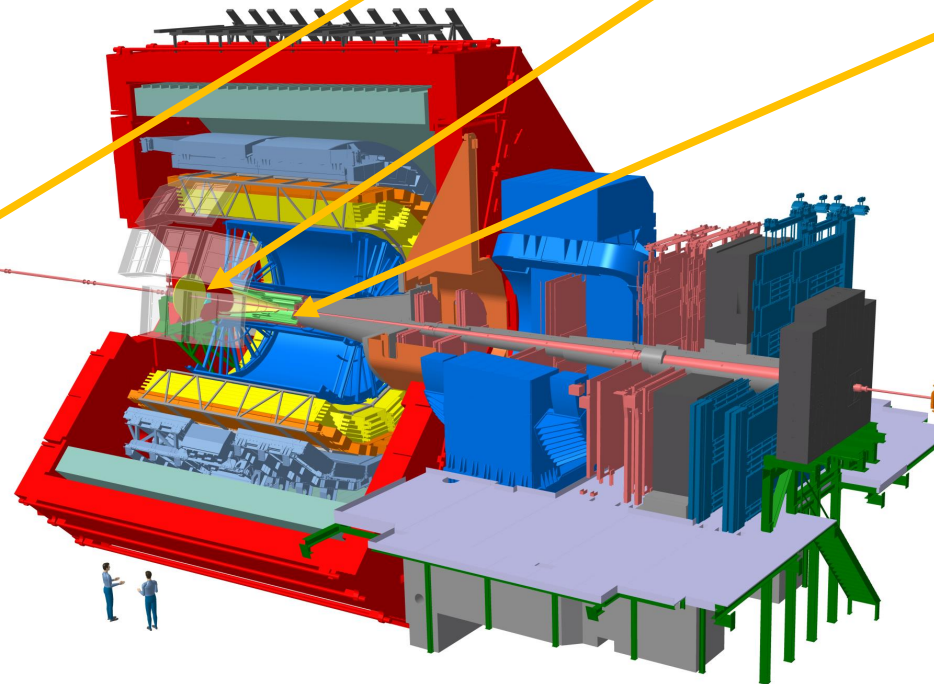
- integroitu Online – Offline datajärjestelmä
- nopea lukunopeus



See:  
[\[FIT TDR\]](#)  
[\[Maciej's PhD-thesis\]](#)

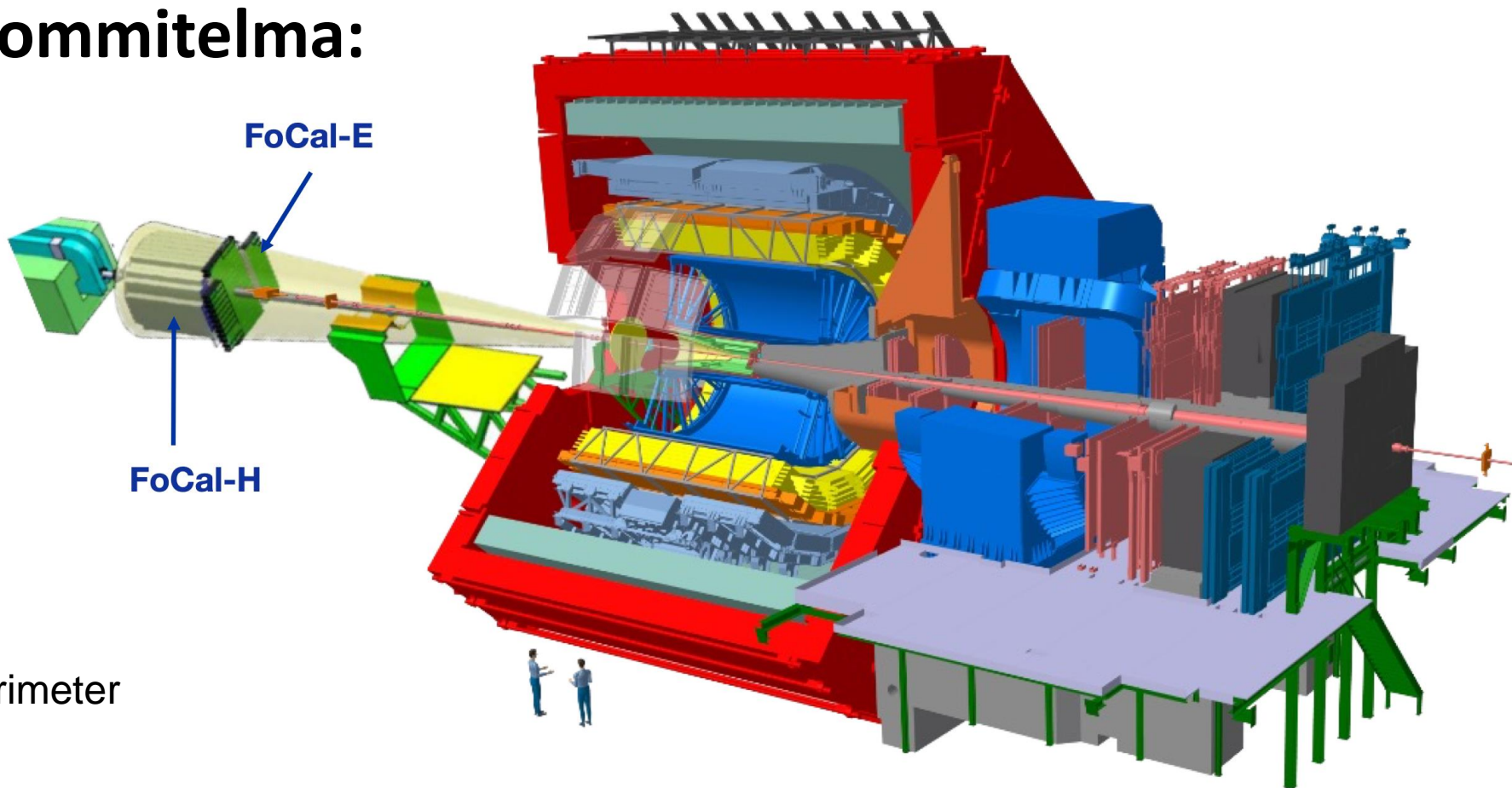
# Fast Interaction Trigger (FIT)

- Suomen suurin kontribuutio ALICE2
- FIT operoi vuoteen 2032 asti, Run4
- [Video](#): No FIT, no ALICE

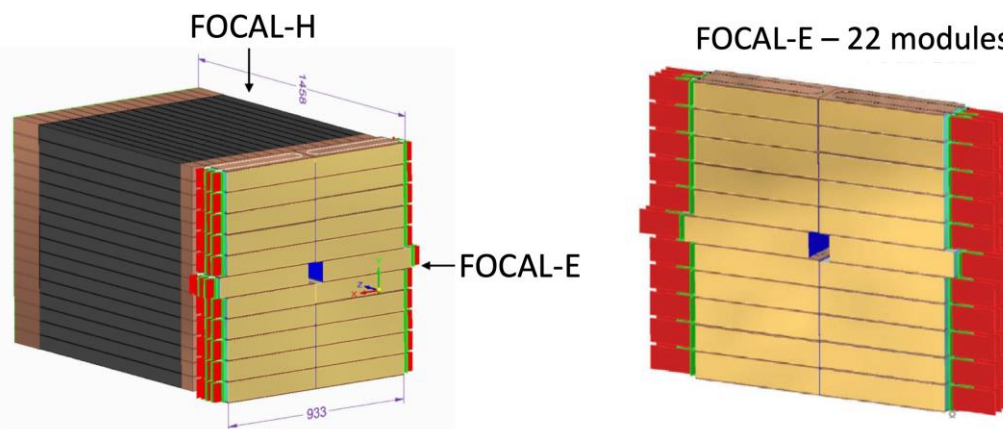


- FIT toiminnallisuudet:**
- LHC Point 2 luminositeetti
  - Pääasiallinen triggeri ALICE:ssa
  - Verteksimittaus ja ajoittaminen
  - Keskeisyys ja törmäystaso

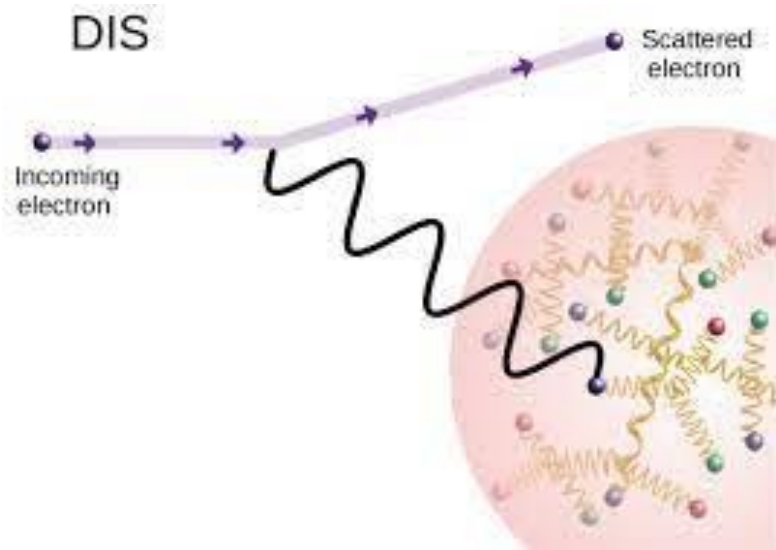
# FoCal sommitelma:



Forward Calorimeter

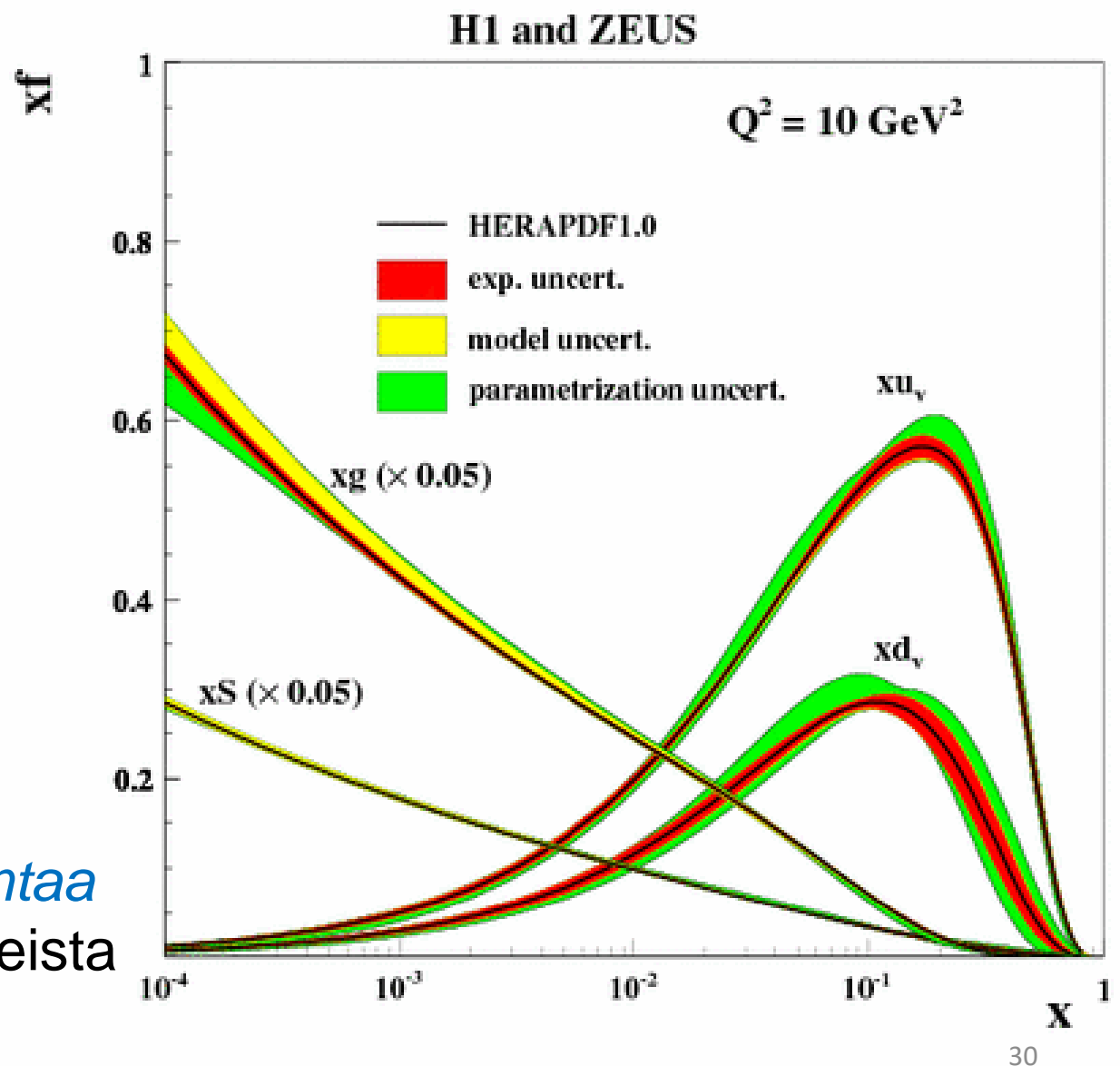


Protonissa on "liikaa gluoneja" → määrän on pakko saturoitua. Kuinka havaitaan?

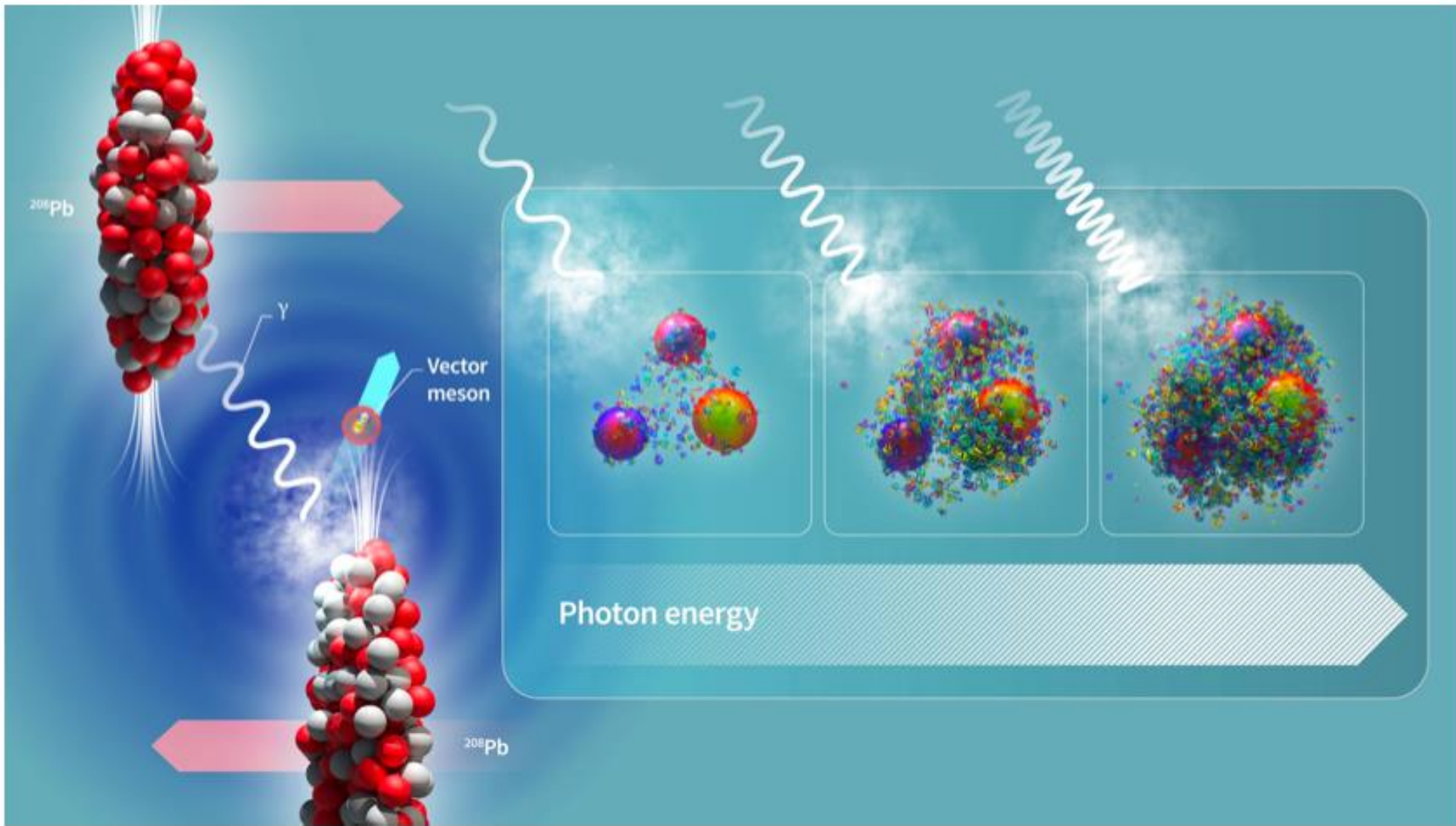


Syvä epäelastinen sironta, DIS  
→ gluonien määrä kasvaa pienillä  $x$

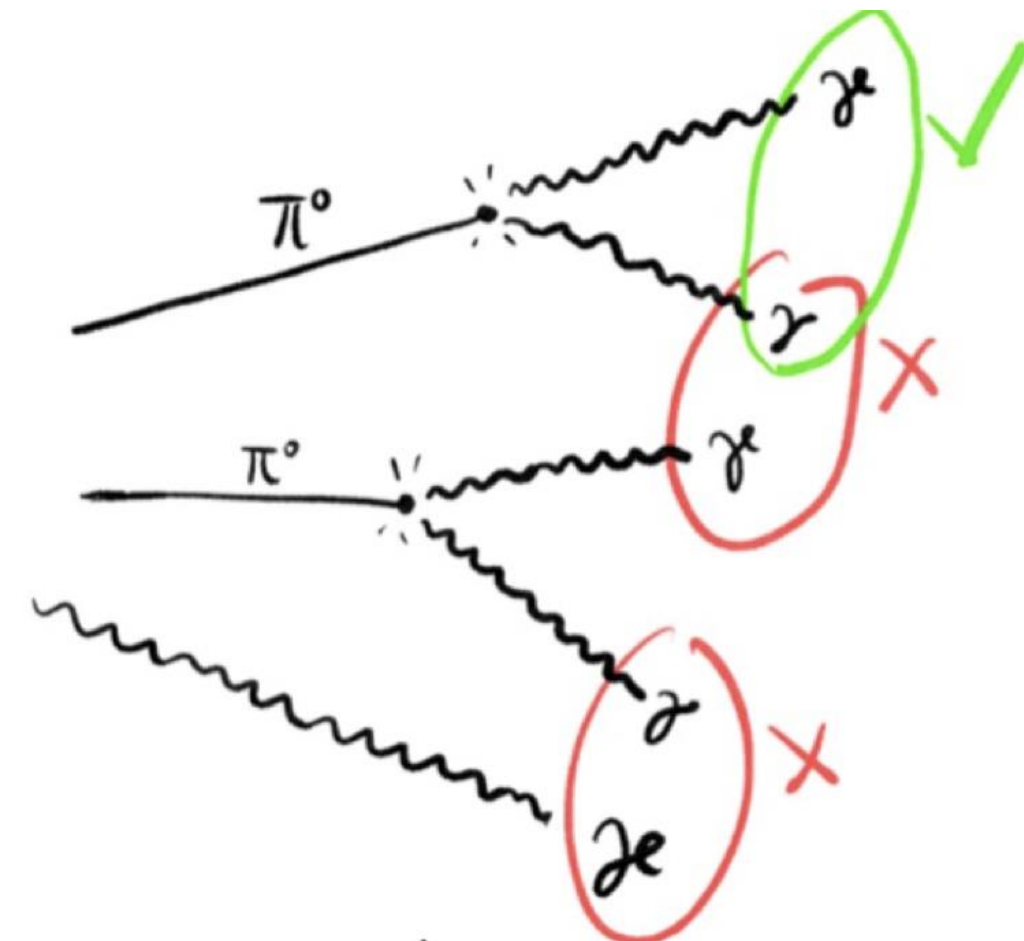
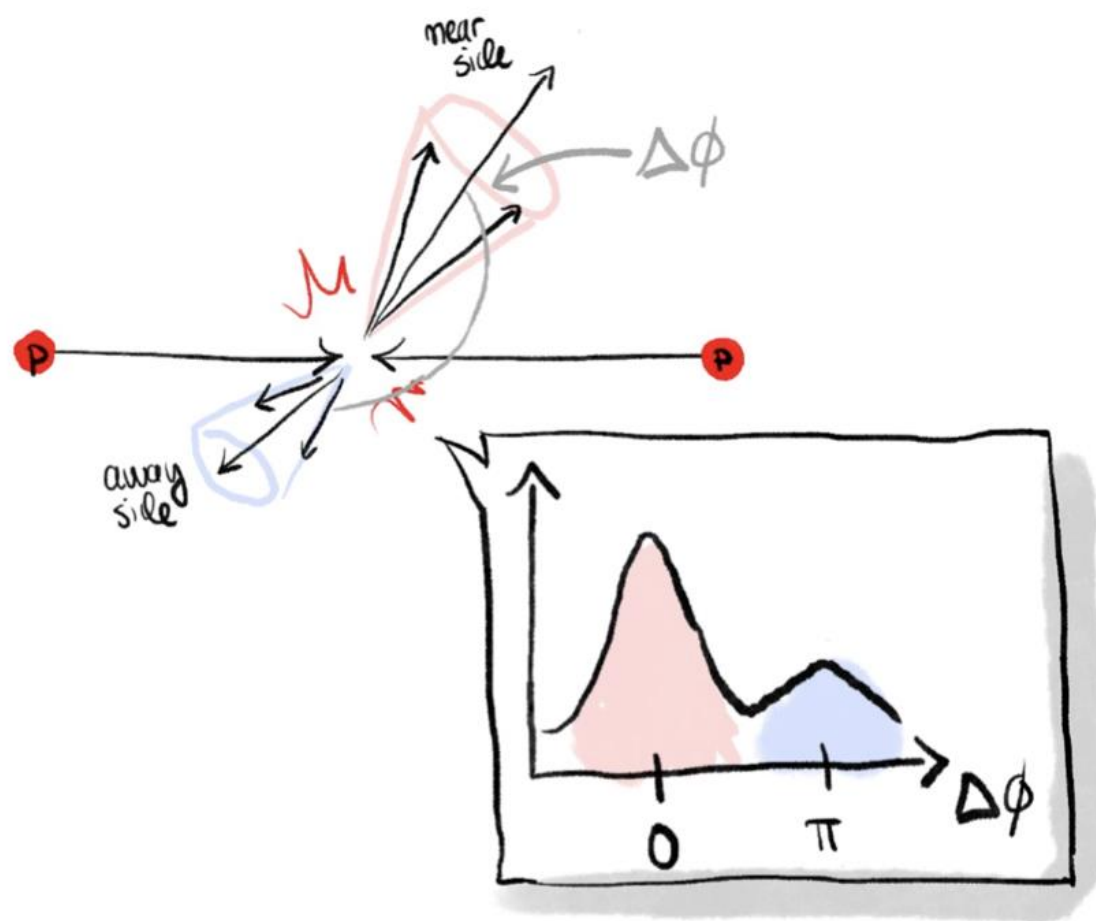
Iso kysymys QCD tutkimuksessa:  
*Kuinka saturoituminen voitaisiin todentaa kokeellisesti?* → yksi FoCal:n tavoitteista



# Taiteellinen näkemys protonin sisällöstä:

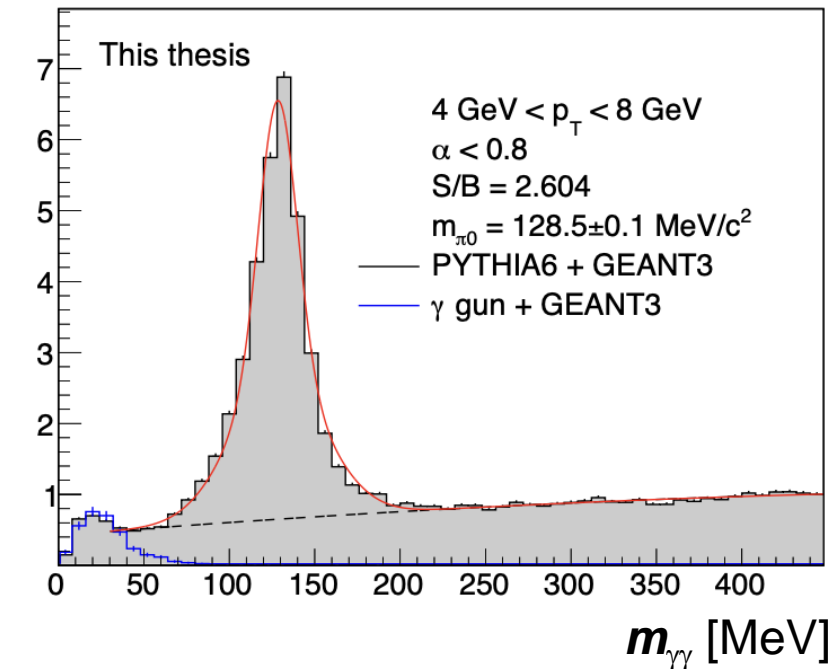
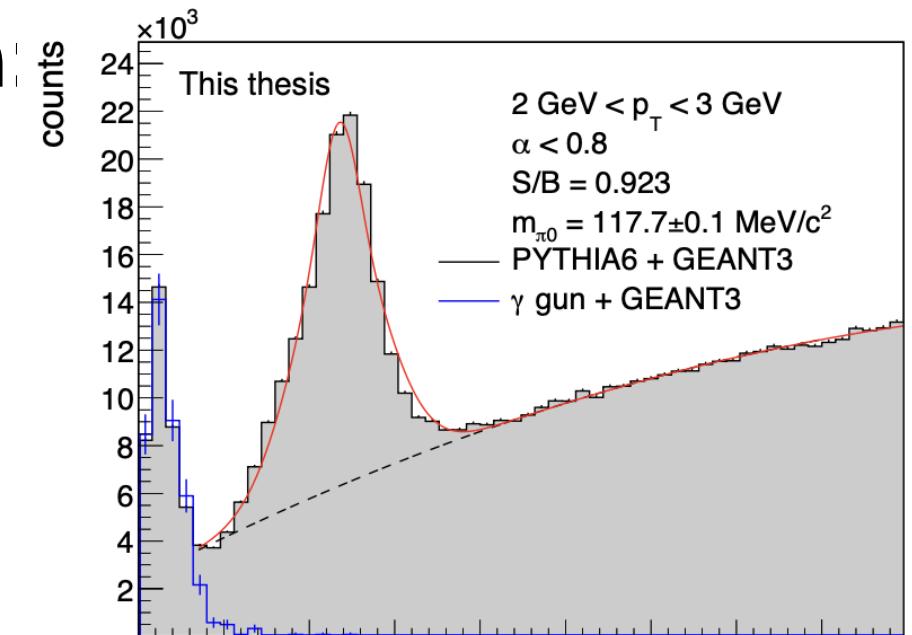
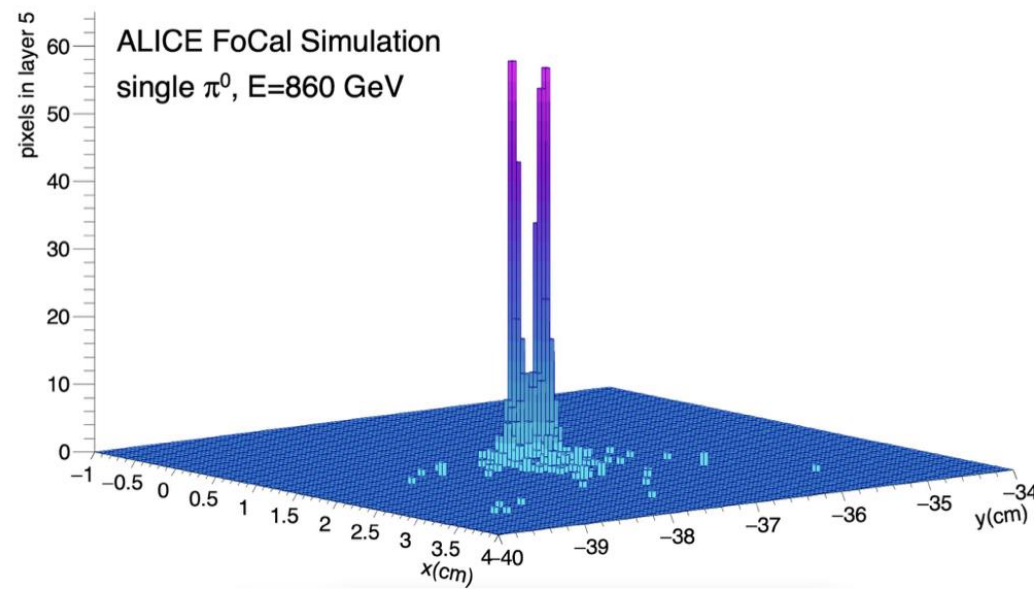
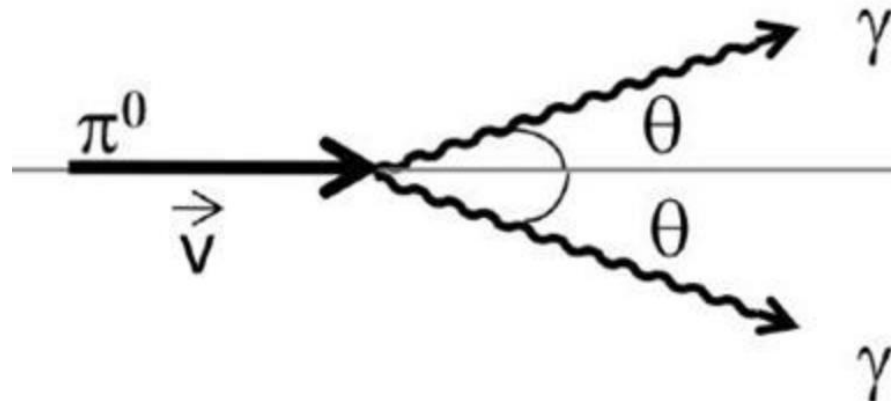


FoCal mahdollistaa neutraalien pionien korrelaatioiden mittaamisen. Ennuste: saturaatio → korrelaatiot vaimenevat

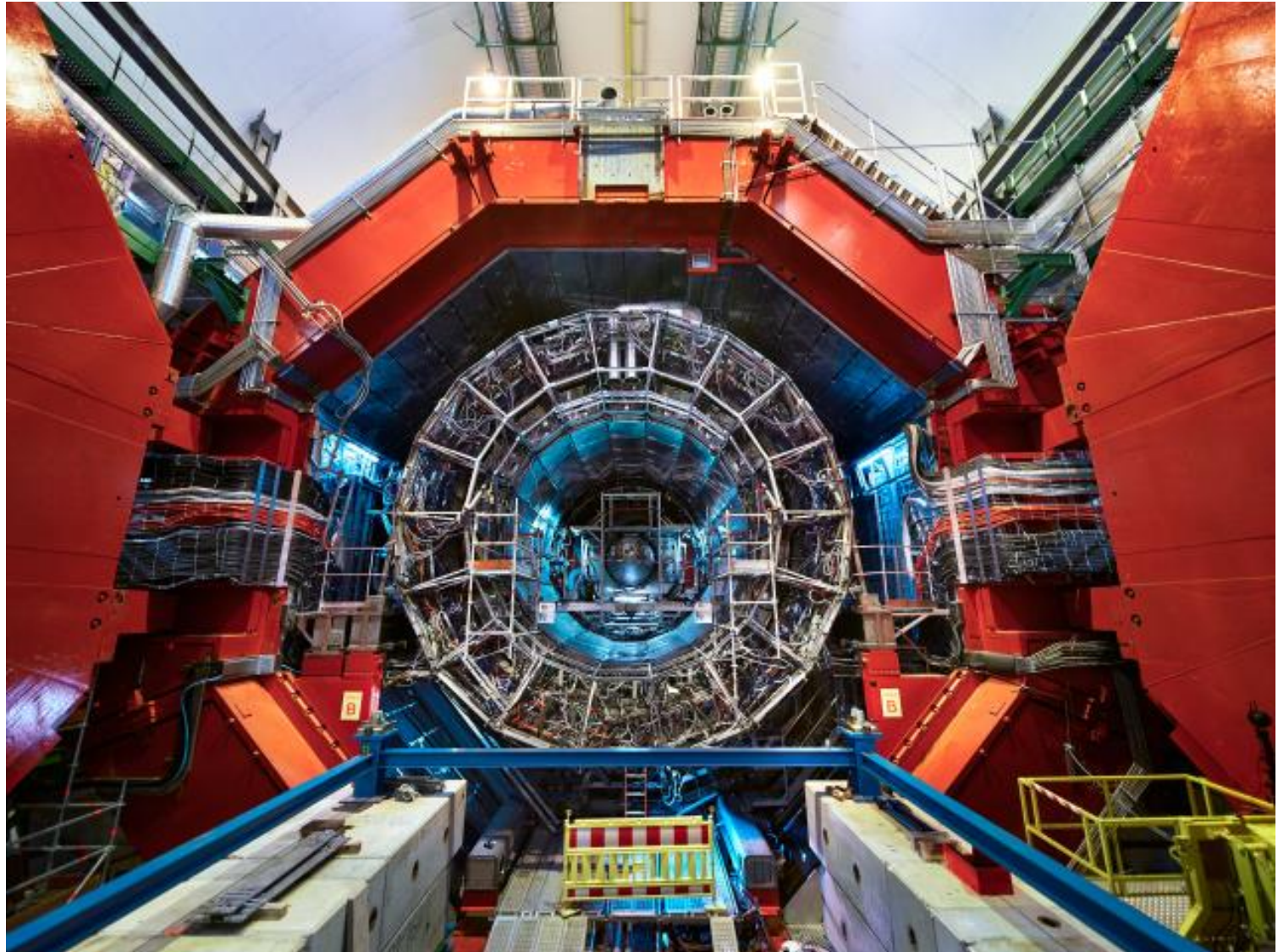


# Neutraalien pionien havaitseminen

Täsmälleen sama tekniikka, kuin Higgsin havaitsemisessa!



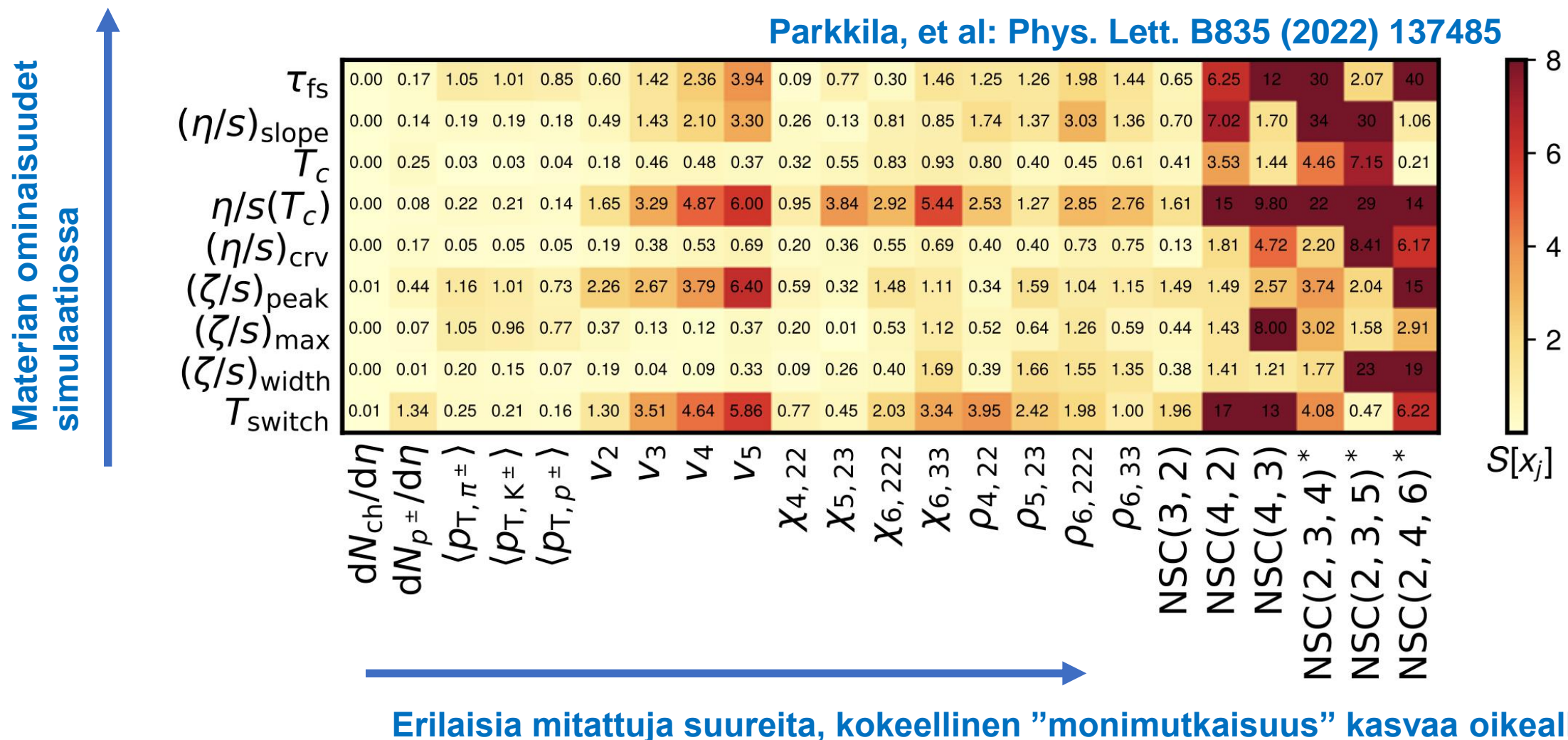
Kiitos!  
Kysymyksiä?



# BACKUP

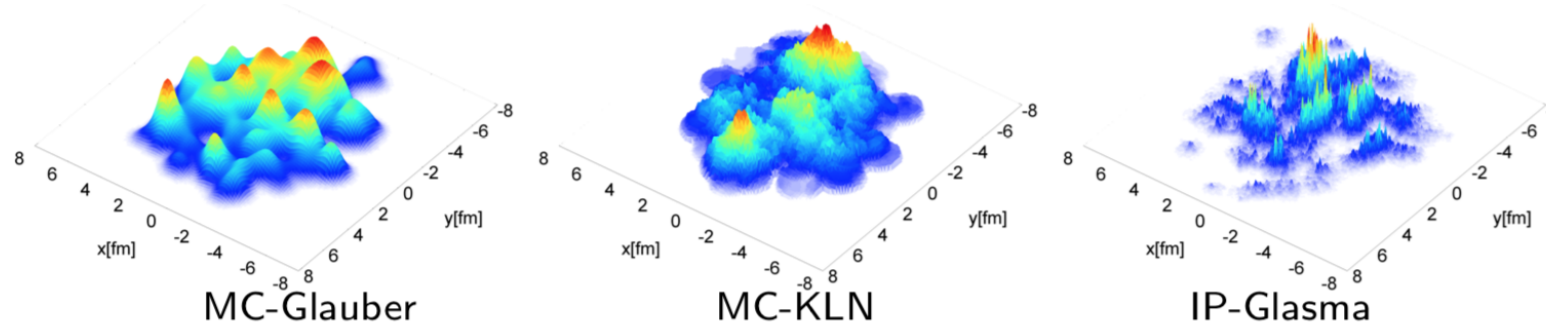
# Bayesialainen analyysi kaikkea mitattua dataa vastaan

- Etsitään ideaalisia materiaalien ominaisuuksia "fittaamalla" → herkkyykskartta

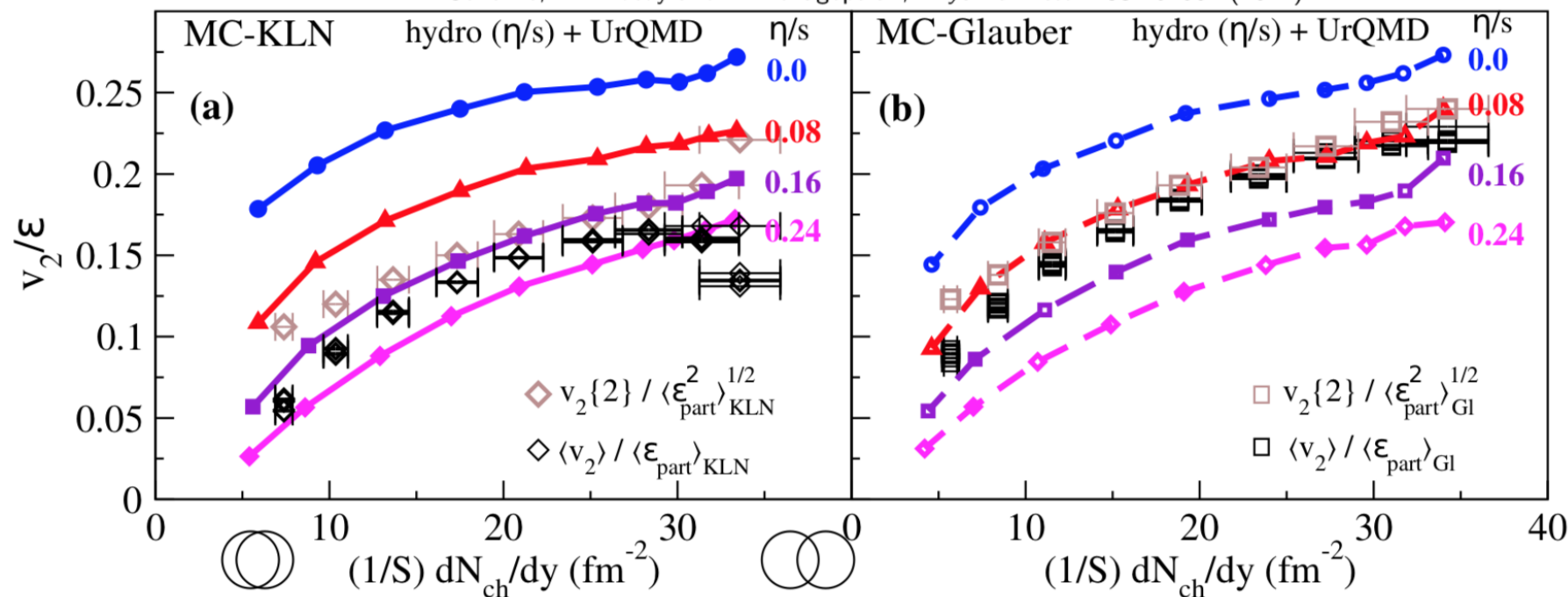


Ongelma: eri alkutilamallit suosivat eri arvoa juoksevuudelle  $\frac{\eta}{s}$

→ Ei ole mahdollista, sillä kyseessä on materiaalin ominaisuus



B. Schenke, P. Tribedy and R. Venugopalan, *Phys.Rev.Lett.* **108** 252301 (2012)



Kinetic theory

$$h \gg \frac{1}{3} n \langle p \rangle /$$

# Kaikilla aineilla on viskositeetti!

Danielewicz, Gyulassy, Phys.Rev. D31 (1985) 53  
W. A. Zajc, talk in “Strings to Things” workshop, 2008

Smallest meaningful mean free path from formation time

$$\sim \frac{1}{\langle p \rangle}$$

Relation between entropy and number densities (relativistic bose-gas):

$$s = \frac{e + P}{T} \sim \frac{4}{3} \frac{e}{T} \sim \frac{4}{3} \frac{p^2}{30} \frac{p^2}{Z(3)} g_B \frac{Z(3)}{p^2} T^3 \sim 3.6 n$$

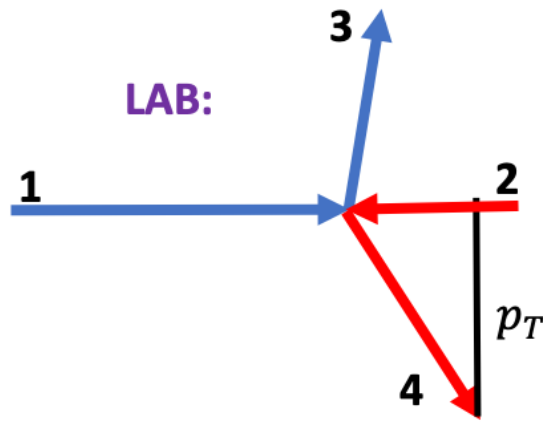
Together gives a lower bound for viscosity to entropy ratio

$$h^3 \frac{1}{3} \frac{s}{3.6} \quad \gtrsim \quad \frac{h}{s} \gtrsim 0.1$$

Note: not very strict constraints to underlying microscopic theory!

# Reaching low- $x$ : kinematics of hard 2-to-2 partonic process

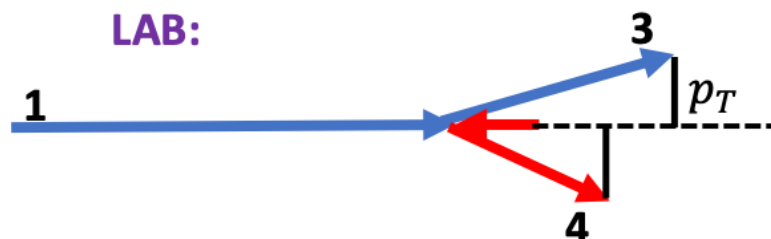
Conservation of energy and longitudinal momentum:



$$x_1 = \frac{p_T}{\sqrt{s}} (e^{\eta_3} + e^{\eta_4})$$
$$x_2 = \frac{p_T}{\sqrt{s}} (e^{-\eta_3} + e^{-\eta_4})$$

~sirontakulmat

Rule of a thumb: when  $\eta_3 \approx \eta_4 \equiv \eta \gg 1$ , “large” and “small”  $x$

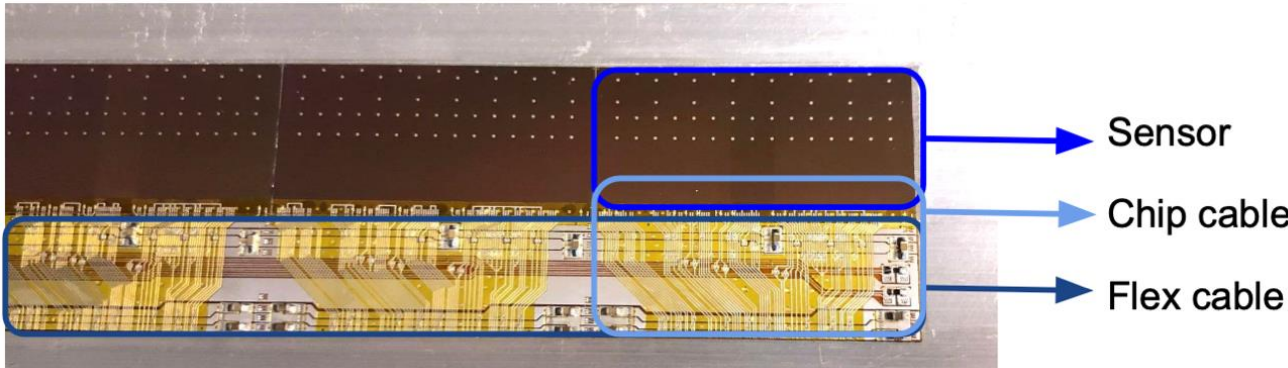
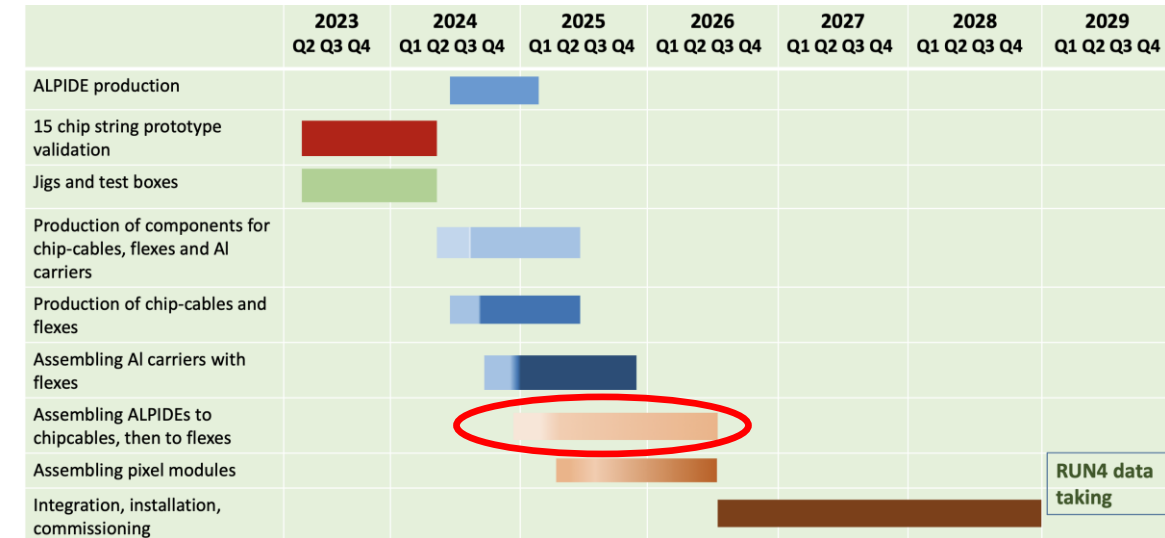


$$x_1 \approx \frac{2p_T}{\sqrt{s}} e^{+\eta} \gg 0$$
$$x_2 \approx \frac{2p_T}{\sqrt{s}} e^{-\eta} \ll 1$$

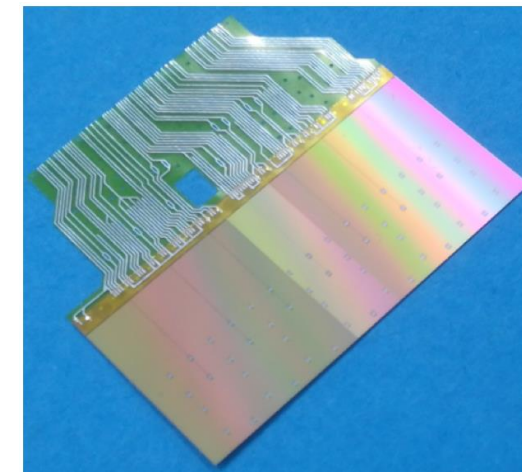
Target: high collision energy, low- $p_T$  and large rapidity.

# Finnish contribution to FoCal hardware

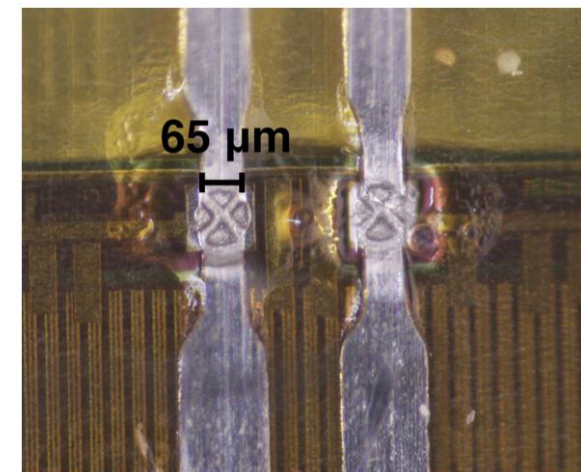
- FiRi 2023: new automatic bonding machine  
→ machine operational in fall 2024
- FiRi combined CMS and ALICE pledges
  - wire bonding of CMS tracker elements
  - SpTAB bonding of the FoCal pixel layers
- FoCal production in Helsinki in 2026



3/15 ALPIDE chips bonded to a flex cable,  
on top of an aluminium carrier



ALPIDE = ALICE Pixel Detector



SpTAB bond